

بررسی اثر میزان و نوع بایندرهای فسفاتی و کائولن بر استحکام و خواص فیزیکی جرم‌های دیرگداز تعمیری زیرکنی

حمیدرضا رضایی^۱، رحیم نقیزاده، فرزین آریان پور

^۱دانشکده مهندسی مواد و متالورژی، دانشگاه علم و صنعت ایران

hrezaie@iust.ac.ir

چکیده: جرم‌های دیرگداز تعمیری زیرکنی (Zircon Patching Mix) محصولاتی حاوی زیرکن، کائولن و باندهای فسفاتی هستند که به روش ماله‌کشی (Trowelling) در تعمیرات کوره‌های ذوب صنعت شیشه مصرف می‌شوند. مطالعه خواص این محصولات از لحاظ صنعتی و نیز تحولات فازی باندهای فسفاتی از اهمیت خاصی برخوردار است. در این پژوهه تحقیقاتی پس از انتخاب فرمولا سیونهای مختلف حاوی زیرکن با دانه بندی‌های مختلف و افزودن مقادیر مختلف کائولن، ترکیبات حاوی P_2O_5 و آب، نمونه‌های ساخته شد. برای تامین P_2O_5 از هگزا متافسفات سدیم، تری پلی فسفات سدیم، فسفات دی هیلر وزن آلومنیوم سدیم و اسید فسفریک استفاده شد. پس از تهیه نمونه‌های مناسب و خشک کردن و پخت آنها در دماهایی بین $500^{\circ}-1450^{\circ}$ ، خواص فیزیکی و مکانیکی مطابق با استانداردهای ASTM اندازه‌گیری شد. نتایج حاکی از برتری باند تری پلی فسفات نسبت به سایر باندهای فسفاتی از لحاظ خواص مکانیکی بود. همچنین نمونه‌های حاوی ۷-۱۰٪ کائولن و ۳-۵٪ P_2O_5 دارای خواص برتری نسبت به سایر نمونه‌ها بودند. در نهایت تعدادی از نمونه‌ها به منظور انجام بررسی‌های فازی و ریزاختری مورد آنالیزهای میکروسکوپی (SEM+EDS) و پراش اشعه X (XRD) قرار گرفتند.

کلمات کلیدی: مواد دیرگداز، منولیتیک، جرم تعمیری، زیرکن، باند فسفاتی

۱- مقدمه

مواد دیرگداز بی‌شک (Monolithic) مخلوطی از اگریگیتهای دیرگداز و عوامل اتصال دهنده هستند که به صورت خشک و یا مرطوب عرضه می‌شوند. این مواد با روش‌های مختلفی نظیر کوبیدن، ریختن، پاشیدن، ویره کردن و یا ماله‌کشی نصب می‌شوند و ممکن است قبل از کاربرد، عملیات خاصی بر روی آنها از قبیل عمل آوردن (Curing)، خشک کردن و یا زیتتر اولیه انجام شود[۱]. مواد دیرگداز بی‌شک علاوه بر اگریگیتهای نسوز و عوامل اتصال دهنده، می‌توانند شامل مواد دیگری نظیر پودرهای بسیار ریز پرکننده، افزودنیهایی نظیر کمک زینتر، روانساز، الیاف و ... باشند. جدول ۱ انواع اصلی دیرگدازهای منولیتیک را نشان می‌دهد[۲و۳].

معمولًاً دیرگدازهای بی‌شک را از دیدگاه‌های مختلفی نظیر حالت فیزیکی، روش کاربرد، نوع گیرش، ترکیب شیمیایی، چگالی توده ای و نیز نوع استاندارد طبقه‌بندی می‌شوند. یکی از مهمترین روش‌های طبقه‌بندی دیرگدازهای بی‌شک براساس نوع و سازوکارهای گیرش آنها است. به طور کلی در نسوزهای بی‌شک پس از نصب استحکام افزایش می‌یابد. عوامل استحکام دهنده نیز معمولاً شامل انواع مختلفی از مواد آلی و معدنی می‌باشند. جدول ۲ تقسیم‌بندی دیرگدازهای بی‌شک را بر اساس مکانیزم‌های گیرش آنها نشان می‌دهد[۲و۳]. عنصر زیرکونیوم از لحاظ فراوانی در پوسته زمین در رتبه ۲۱ می‌باشد. مواد اولیه حاوی زیرکونیوم در سه دسته مینرالهای حاوی دی اکسید زیرکونیوم (بادلیت)، ارتوسیلیکات زیرکونیوم (زیرکن) و ترکیبات پیچیده زیرکونیوم که عمدتاً سیلیکاتها هستند قرار می‌گیرند. زیرکن عموماً در سنگهای قلیایی و محصولات حاصل از تجزیه آنها یافت می‌شود. این ترکیب با فرمول $ZrSiO_4$ حاوی ۶۷/۲٪ ZrO_2 و ۳۲/۸٪ SiO_2 و سیستم



کریستالی تتراگونال با وزن مخصوص $4/56 \text{ gr/cm}^3$ می‌باشد. رنگ خالص آن بی‌رنگ است ولی به دلیل حضور ناخالصیهای مختلف انواع دیگری از آن در رنگهای زرد کمرنگ تا قهوه‌ای مایل به قرمز مشاهده شده است[۱ و ۲].

جدول ۱ - انواع اصلی دیرگذارهای منولیتیک [۳]

نوع جرم	ماهیت
جرمهای ریختنی	جرم دیرگذار حاوی ذرات درشت و ریز و سیمان اتصالی مناسب که پس از مخلوط کردن با آب به وسیله ریختن، ویره کردن و میله زنی نصب می‌شود.
جرمهای پاشیدنی	جرم دیرگذار حاوی ذرات درشت و ریز و عامل اتصالی مناسب که با ماشین پاشن نصب می‌شود.
جرمهای پلاستیک	جرم دیرگذار که بعد از مخلوط شدن با آب و یا چسب، پلاستیسیته مناسب پیدا می‌کند و با کوبیدن در موضع مورد نظر شکل داده می‌شود.
جرمهای کوبیدنی	مشابه جرم‌های پلاستیک ولی تا حدی سفت‌تر می‌باشد.
جرمهای تعمیری	جرمهایی که پس از عمل آوری با آب یا چسب حالت پلاستیک مناسبی برای انجام تعمیرات پیدا می‌کنند.
جرمهای تزریقی	جرمهایی که به حالت دوغاب در کوره تزریق می‌شوند.
پوشش‌های دیرگذار	جرمهایی که بر روی سطح کار با ضخامت نازک به کارمی‌روند.
ملات‌های دیرگذار	مواد دیرگذار ریزی که پس از مخلوط کردن با آب برای انصال آجرها یا اشکال دیرگذار بصورت مalleable می‌باشد.

جدول ۲ - تقسیم‌بندی نسوزهای منولیتیک براساس مکانیزم گیرش [۳]

نوع گرم	ویژگی‌های گیرش
جرمهای ریختنی، جرم‌های پاشیدنی	گیرش هیدرولیک
جرمهای پلاستیک، کوبیدنی، ملات‌ها	گیرش در هوا
جرمهای پلاستیک، کوبیدنی	گیرش با گرم کردن
ملات‌ها، ریختنی‌ها، پاشیدنی‌ها	گیرش شیمیایی

از نظر شیمیایی زیرکن در HF و اسید سولفوریک غلیظ حل می‌شود. ذخایر زیرکن در بستر رودخانه‌ها و سواحل دریا واقع شده و بر اثر هوازدگی سنگهای آتش‌فشاری به وجود می‌آیند. با استفاده از فرآیندهای کانه‌آرایی و تغليظ، ماسه زیرکنی با خلوص بالا (با اندازه $0/3 \text{ mm}$ و کمتر) به دست می‌آید که با آسیاب کردن ابعاد ذرات آن به زیر مشن ۲۰۰ تا ۳۲۵ کاهش یافته و با نام Zircon Flour عرضه می‌گردد. معادن اصلی زیرکن در آمریکا، بربادی، استرالیا و هند می‌باشد. ماسه زیرکنی با چند درجه خلوص عرضه می‌گردد و معمولاً دارای آنالیز $\text{ZrO}_2 = 65\text{--}66\%$ $\text{SiO}_2 = 32\text{--}33\%$ $\text{TiO}_2 = 0/0\text{--}0/3\%$ می‌باشند. همچنین مقداری HfO_2 نیز به صورت محلول جامد در آن وجود دارد. در جدول ۳ ترکیب شیمیایی چند نوع ماسه زیرکنی آورده شده است[۵].

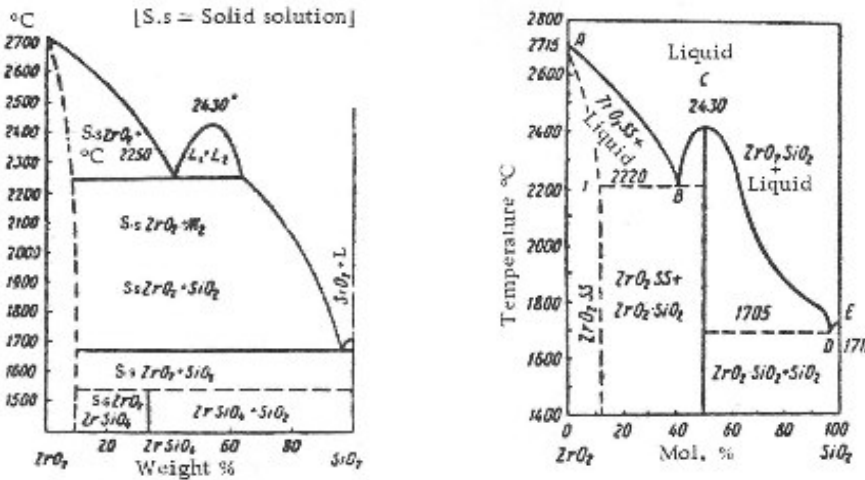
جدول ۳ - آنالیز شیمیایی چند نوع ماسه زیرکنی [۵]

Compositions (%)	Australia		Malaysia	India
	East coast	West coast		
SiO_2	۳۳/۴۵	۳۳/۸۴	۳۱/۷۲	۳۱/۸۵
TiO_2	۰/۱۸	۰/۲	۰/۰۲	۰/۳۸
ZrO_2	۶۶/۵۳	۶۶/۰۲	۶۶/۸۳	۶۶/۵۱
Al_2O_3	۰/۲۷	۰/۲	۰/۳۵	۰/۳۷
Fe_2O_3	۰/۰۸	۰/۱۳	۰/۴۵	۰/۱۴
CaO	۰/۴۳	۰/۳۱	۰/۱	۰/۳۸
MgO	۰/۰۵	۰/۰۸	۰/۰۴	۰/۰۵
Na_2O	۰/۰۱	۰/۰۲	۰/۰۳	۰/۰۲
K_2O	-	۰/۰۱	۰/۰۲	۰/۰۲
L.O.I	۰/۱۹	۰/۱۱	۰/۲۸	۰/۲۴

مطابق دیاگرام فازی دوتایی $\text{ZrO}_2 - \text{SiO}_2$ (شکل ۱) زیرکن در دمایی حدود 1700°C به مذاب و محلول



جامد ZrO_2 تجزیه شده و ذوب کامل آن در دمایی بالاتر از $2250^\circ C$ روی می‌دهد. اگر مخصوصات حاصل از تجزیه به آرامی سرد شده و یا مجدداً در دمایی بین $1400-1500^\circ C$ حرارت داده شوند به زیرکن تبدیل می‌شود[۶].



شکل ۱ - دیاگرام دوتایی $[2]ZrO_2 - SiO_2$

زیرکن در مخصوصات دیرگداز مختلفی نظری بوته‌ها، نازلها و آجرهای ذوب و ریخته‌گری شده (ZAS) استفاده می‌گردد. سیمانهای زیرکنی از زیرکن آسیاب شده و افزودن ۱۰ درصد رس و چسب سیلیکات سدیم تهیه می‌شوند. این سیمانها را می‌توان به عنوان ملات در آجرچینی دیرگدازهای اسیدی به کار برد[۷]. جرمهای تعمیری زیرکنی شبیه به سیمانهای زیرکنی می‌باشند. اما علاوه بر زیرکن و رس از شاموت و آلومینا به عنوان مواد اولیه و علاوه بر چسب سیلیکات سدیم از چسبهای فسفاتی نیز به عنوان بایندر می‌توان استفاده نمود. دانه‌بندی جرمهای تعمیری از سیمانهای زیرکنی درشت‌تر است. در جدول ۴ آنالیز و خواص نوعی جرم تعمیری زیرکنی آورده شده است[۸].

جدول ۴ - آنالیز و خواص نوعی جرم تعمیری زیرکنی [۸]

Zettramur SP	کد تجاری
زیرکن	ماده اولیه اصلی
آنالیز شیمیایی جرم (% وزنی)	
۵۸	ZrO_2
۳۳	SiO_2
۳	Al_2O_3
۰-۰/۲۵	(mm) دانه‌بندی
۳۶	(SK) دیرگدازی
۱۳۰۰	(°C) دما زینتر
۱۳-۱۸	(liters) مقدار مایع مورد نیاز برای ۱۰۰ kg جرم خشک

۱- انواع اتصالات

به طور کلی به منظور ایجاد استحکام مناسب در بدنه‌های سرامیکی، از انواع مختلف چسبهای جهت ایجاد اتصال استفاده می‌شود. تقسیم‌بندی انواع اتصالات با روشهای و تعاریف مختلف صورت می‌گیرد. اتصالات واکنشی (شیمیایی) در اثر انجام واکنش شیمیایی بین اجزاء غیر آبی حاصل می‌شوند که مهمترین آن واکنش اسیدوسولفوریک با مواد سیلیکاتی و یا اکسیدی است. همچنین چسبهای سیلیکاتی و رزینها نیز در این



دسته‌بندی قرار می‌گیرند. اتصالات حاصل از رسوب از محلول و یا سوسپانسیونهای کلوئیدی با تنظیم PH، غلظت سایر یونها و یا گرم کردن ژلهای اولیه حاصل شده و در واقع جامداتی غیربلورین هستند. مهمترین دسته این اتصالات ترکیبات سیلیکات‌اتیل و سیلیکات‌سدیم می‌باشند. اتصالات هیدرولیک در اثر گیرش ناشی از فرآیند هیدراسیون بوجود می‌آیند. انواع عمدۀ این باندها شامل سیمانهای پرتلند، آلومینایی، سیلیکاتی و باریمی هستند. اتصالات سرامیکی در اثر انجام واکنش زینتر در دیرگدازهای حاوی گذاز آور و یا پودرهای فلزی به وجود می‌آیند. همچنین اتصالات چسبی، در اثر افزودن مواد آلی نظیر دکسترن، صمغ عربی، کربوکسی متیل سلولز (CMC)، پلی ونیل الکل (PVA) و یا رزینهای خاص تولید می‌شوند. اتصالات انعقادی نیز شامل پودرهای ریز دانه رس، و یا اکسیدی، سلهای سیلیسی، آلومینایی، و ... می‌باشند.^{۹-۱۲}

۱-۱-۱-۱-۱-۱

اسید فسفریک و یا اسید ارتوفسفریک (H_3PO_4) با نقطه ذوب $42/35^{\circ}C$ و وزن مخصوص gr/cm^3 ۱/۸۸ در دمای محیط کریستال هایی با سیستم رمیک را تشکیل می دهد. اسید فسفریک معمولاً بصورت محلول های آبی با غلظت های ۷۰-۸۵٪ عرضه می شود. در جدول ۵ خواص انواع اسید فسفریک تجاری آورده شده است [۱۳].

۱-۱-۲- فسفاتها

فسفاتها ترکیباتی هستند که در آن اتمهای فسفر به وسیله چهاروجهی های اکسیژنی احاطه شده‌اند. این چهاروجهی ها می‌توانند اتمهای اکسیژنی خود را تا سه گوشه به اشتراک بگذارند. در فسفاتهای بلورین، زاویه $O-P-O$ در تراهederal ها $95-125$ درجه و زاویه $O-P-O$ مابین تراهederalها $120-180$ درجه می‌باشد. معمولاً نمایش فسفاتها بصورت ترکیب استوکیومتریک اکسیدی است. برای نامگذاری فسفاتها نسبت مولی (R) از تقسیم مجموع مولهای اکسید های کاتیونی (Na_2O, K_2O, CaO, H_2O) به اکسیدهای آئیونی (P_2O_5) مطابق جدول ۶ محاسبه می‌شود [۱۴ و ۱۵].

جدول ۵ - خواص انواع اسید فسفریک‌های تجاری [۱۳]

مورد	اسید فسفریک (%)	۷۵	۸۰	۸۵	۹۰۵
اسید فسفریک (H_3PO_4) %	۷۵/۱	۸۰/۳	۸۵/۵	۹۰۵/۱	
P_2O_5 (%)	۵۴/۴	۵۸/۲	۶۱/۹	۷۶/۱	
چگالی (۱۵,۵°C .gr/cm3)	۱/۵۷	۱/۶۳	۱/۶۸	۱/۶۳	
گرمایی ویژه (cal/gr °C at ۲۱°C)	۰/۴۸	۰/۴۶	۰/۴۴	۰/۴۷	
ویسکوزیته (cp at ۲۵°C)	۱۲	۱۷	۲۳	۴۴۰	
نقطه ذوب (°C)	-۱۷/۵	+۴/۶	+۲۱/۱	+۱۶	

حدول ۶ - نامگذاری، فسفاتها براساس، نسبت مولی، (R) (R)

۳	ارتوفسفات
۲-۳	مخلوط ارتوفسفات و پیرو فسفات
۲	پیرو فسفات
۱-۲	پلی فسفاتهای خطی
۱	متافسفات

۱-۱-۳- فسفات‌های سدیم

فسفات‌های سدیم دو عملکرد روانسازی و چسبندگی می‌توانند داشته باشند. افزودن مقدار کمی از این فسفات‌ها

به دوغاب سرامیکی موجب کاهش ویسکوزیته آن می‌گردد. از طرف دیگر فسفاتهای سدیم در واکنش با ترکیبات حاوی فلزات قلیایی خاکی نظیر MgO و CaO موجب انعقاد آنها می‌شود. کاربرد فسفاتهای سدیم در دیرگذارها به مقدار زیاد، به دلیل نقطه ذوب اندک آنها چندان مطلوب نیست[۱۶].

۱-۱-۴- فسفاتهای آلومینیم

فسفاتهای آلومینیم شامل ترکیبات بسیاری (بیش از ۵۰ عدد) می‌باشد. از بین فسفاتها، عمده‌ترین چسب دیرگذار مورد استفاده، منوآلومینیم فسفات ($Al(H_2PO_4)_2$) و یا بطور مختصر MAP می‌باشد که به دلیل حلایت در آب، استحکام چسبی و پایداری مطلوب دارد. فسفات منوآلومینیم به وسیله واکنش اسید فسفریک با هیدروکسید آلومینیم در دماهای $100\text{--}200^\circ C$ تولید می‌شود و نسبت مولی Al_2O_3 به P_2O_5 در آن 0.33 می‌باشد. معمولاً این فسفات بصورت محلولهایی اسیدی با غلظت‌های مختلف عرضه می‌شود. برای ساخت شدن منوآلومینیم فسفات بایستی دمای آن تا $100^\circ C$ افزایش یابد. ولی از آنجاکه این ترکیب جاذب رطوبت می‌باشد دمای آن را بایستی تا $35^\circ C$ افزایش داد تا ترکیبی غیرجاذب رطوبت حاصل گردد[۱۷].

۱-۱-۵- فسفاتهای آمونیم

کاربرد فسفاتهای مختلف آمونیم نظیر $(NH_4)_3PO_4$, $(NH_4)_2HPO_4$, $(NH_4)H_2PO_4$ در مخلوطهای آلومینایی و بدنه‌های قلیایی گزارش شده‌است. این ترکیبات فسفاتی همراه با فسفات آلومینیم و یا فسفات اوره نیز به کار می‌روند[۱۷].

۲- روش کار

هدف از انجام این پژوهه بررسی پارامترهای موثر در فرایند ساخت و خواص جرم‌های تعمیری باند فسفاتی زیرکنی بود. بنابراین ابتدا با توجه به منابع مطالعاتی و بررسی نمونه‌های خارجی موجود، فرمولاسیونهای مختلفی طراحی گردید که تفاوت آنها در درصد کائولن و نوع بایندر مصرفی بود. ابتدا با توجه به آنالیز شیمیایی نمونه خارجی (جدول ۴) و آنالیز مواد اولیه مصرفی (جدول ۷)، فرمولاسیون نمونه‌ها مطابق جدول ۸ طراحی گردید.

جدول ۷- آنالیز شیمیایی مواد اولیه مصرفی

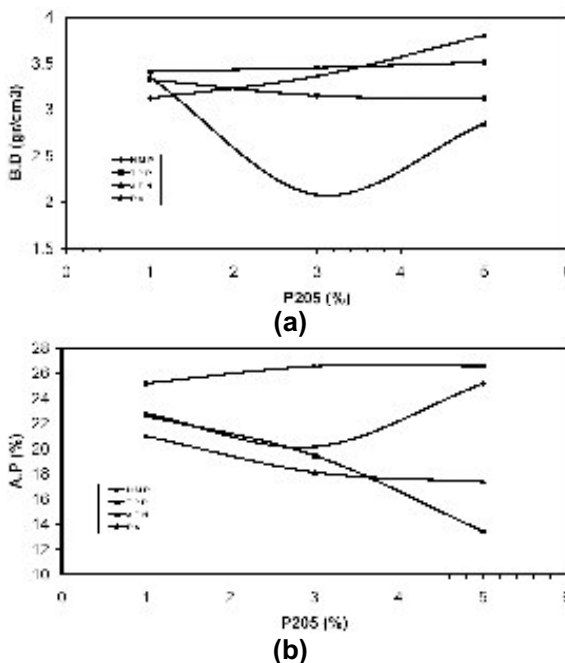
L.O.I	Na_2O	CaO	TiO_2	ZrO_2	Fe_2O_3	Al_2O_3	SiO_2	نوع ماده
۱۲/۶	۰/۱	۰/۶۵	۰/۲	--	۰/۸۳	۳۷	۴۷/۲۵	کائولن (زلتیتز)
۰/۳	--	--	--	۶۶	۰/۱	۰/۶	۳۳	زیرکن (جانسون متنی)

جدول ۸- مواد اولیه مصرفی و محدوده فرمولاسیون نمونه‌ها

درصد وزنی	دانه‌بندی	نام ماده اولیه
۷۰	-۳۵۰ Mesh	زیرکن
۲۰-۳۰	۵ μm	زیرکن
۰-۱۰	-۶۰ Mesh	کائولن زلتیتز
۱-۵	--	P_2O_5

در این تحقیق از چهار نوع بایندر فسفاتی مختلف استفاده شد. به منظور بررسی تاثیر هر یک از آنها بر خواص محصول، میزان ورود P_2O_5 از هر یک از بایندرها به عنوان معیار درصد افزودن هر یک در نظر گرفته شد. به منظور تامین P_2O_5 از هگزا متا فسفات سدیم ($Na_2O \cdot 6P_2O_5$), تری پلی فسفات سدیم ($Na_2O \cdot 3P_2O_5$), آلومینا فسفات سدیم ($NaAl(HPO_4)_2$) و اسید فسفریک (H_3PO_4) استفاده گردید. در این تحقیق ابتدا میزان و نوع بایندر مناسب تعیین گردید و سپس درصد بھینه کائولن مشخص شد. بنابراین در قسمت اول نمونه‌هایی فاقد کائولن و حاوی ۱، ۳، ۵ و ۵ درصد وزنی P_2O_5 ورودی از هر چهار نوع بایندر

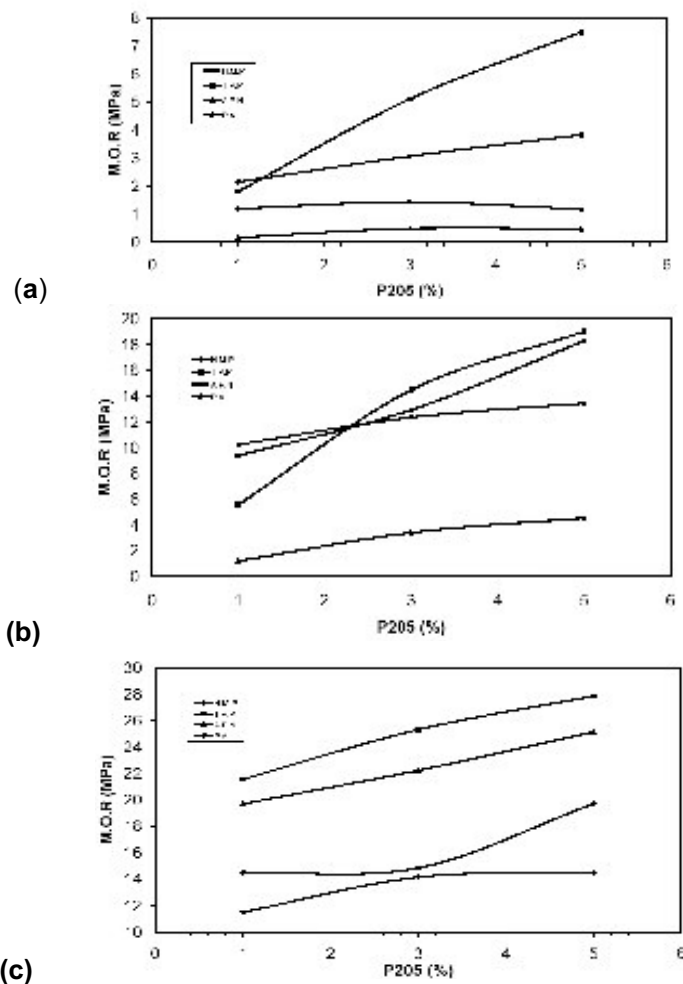
صرفی ساخته شد. از آنجا که بایندرهای هگزا متا فسفات سدیم، تری پلی فسفات سدیم و آلومینا فسفات سدیم به صورت پودر می باشند، برای اضافه کردن آنها به بچ ابتدا هر کدام با نسبت مولی برابر در آب گرم حل شده و سپس به بچ اضافه گردیدند. همچنین به منظور همگن شدن بهتر مواد عمل نگهداری (aging) به مدت ۱۰ ساعت در دمای محیط و محفظه بسته انجام شد. سپس نمونه های مورد نظر در قالب نگهداری شده تا ابعاد $12 \times 23 \times 200$ mm³ شکل داده شدند. پس از آن نمونه ها به مدت ۲۴ ساعت در قالب نگهداری شده تا قسمتی از رطوبت خود را از داده و گیرش اولیه در آنها انجام شود. سپس نمونه ها از قالب خارج و وارد خشک کن شدند. عملیات خشک کردن در دمای 110°C به مدت ۲۴ ساعت و سپس عملیات زینتر و پخت در کوره الکتریکی و دماهای 500°C ، 1200°C و 1450°C به مدت ۳ ساعت و سرعت گرمایش $150^{\circ}\text{C}/\text{h}$ انجام گردید. خواص فیزیکی (چگالی توده ای و تخلخل ظاهری) نمونه های پخته شده در دمای 1450°C (از حداقل ۵ نمونه) طبق استاندار (ASTM C20-97) اندازه گیری و میانگین نتایج در نمودارهای شکل ۲ گزارش گردید. سپس استحکام خمشی سرد (M.O.R) کلیه نمونه های پخته شده با استفاده از دستگاه استحکام سنج (Schenk) مطابق با استاندار (ASTM C133-97) اندازه گیری شد. میانگین نتایج (از حداقل ۵ نمونه حاصله) در نمودارهای شکل ۳ رسم گردید. در این جداول و نمودارها عبارات H.M.P، T.P.P، A.P.N، P.A و P.O₅ به ترتیب به اختصار بیانگر بایندرهای هگزا متا فسفات سدیم، تری پلی فسفات سدیم، آلومینا فسفات سدیم و اسید فسفریک می باشند.



شکل ۲- تغییرات چگالی توده ای (a) و تخلخل ظاهری (b) در برابر درصد P₂O₅ و نوع بایندر پس از پخت در دمای 1450°C

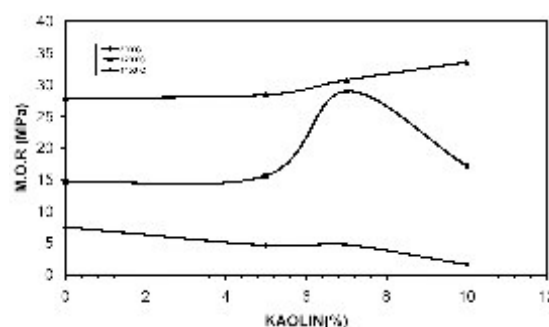
پس از پایان مرحله اول و مشخص شدن نوع و درصد P₂O₅ حاصل از بایندر مناسب (% ۵ وزنی P₂O₅) حاصل از T.P.P، در مرحله دوم به منظور بررسی اثر افزودن کائولن بر خواص محصول، نمونه هایی با درصد های مختلف کائولن که هر یک دارای ۵% P₂O₅ حاصل از بایندر T.P.P بودند، مطابق روال نمونه های قبلی ساخته و خواص فیزیکی و مکانیکی آنها اندازه گیری گردید. اشکال ۴ و ۵ نتایج آزمایش های انجام شده را نشان می دهد. همچنین به منظور شناسایی فازهای مینرالی موجود در نمونه ها، از روش آنالیز اشعه X با استفاده از دستگاه Philips X-Ray (X-Ray Philips X-Pert) استفاده گردید.



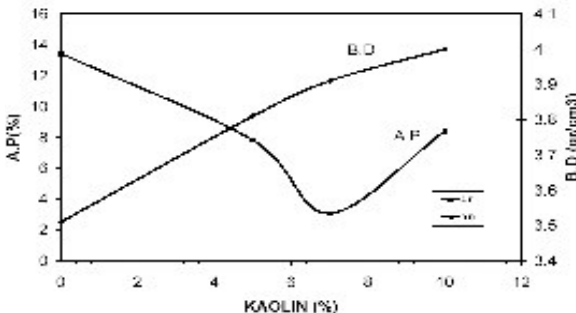


شکل ۳- تغییرات استحکام خمی سرد در برابر درصد P_2O_5 و نوع بایندر پس از پخت در دماهای $1200^{\circ}C$ (a)، $1400^{\circ}C$ (b) و $1450^{\circ}C$ (c)

شکل ۷ الگوی حاصل از پراش اشعه X نمونه حاوی ۵٪ P_2O_5 حاصل از T.P.P با ۱۰٪ کائولن پخته شده در دمای $1450^{\circ}C$ را نشان می‌دهد. همچنین به منظور بررسی ریزساختار و موقعیت اگریگیتها و فاز پیوندی، سطح یک نمونه حاوی ۵٪ P_2O_5 حاصل از بایندر T.P.P با ۱۰٪ کائولن پخته شده در دمای $1450^{\circ}C$ با استفاده از میکروسکوپ الکترونی روبشی (SEM+EDS Cambridge 360) مورد بررسی قرار گرفت. همچنین آنالیز EDS از نواحی خاصی از سطح ریزساختار انجام شد. شکل ۸ ریزساختار اگریگیتها و فاز پیوندی را در بزرگنمایی‌های مختلف و شکل ۹ آنالیزهای EDS از نواحی مربوطه را نشان می‌دهد.



شکل ۴- تغییرات استحکام خمی سرد با افزایش درصد کائولن در نمونه‌های حاوی ۵٪ P_2O_5 حاصل از T.P.P پس از پخت در دماهای مختلف



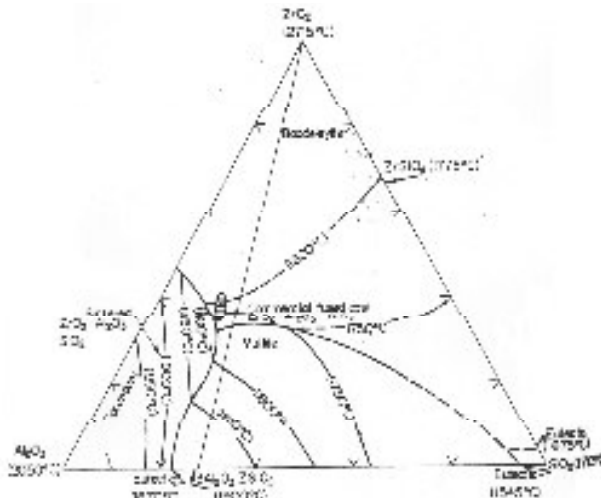
شکل ۵- تغییرات چگالی توده ای و تخلخل ظاهری با افزایش درصد کائولن در نمونه های حاوی $5\% P_2O_5$ حاصل از T.P.P پس از پخت در $1450^{\circ}C$

۳- بحث و نتیجه گیری

۳-۱- تعیین نوع و درصد بایندر مناسب

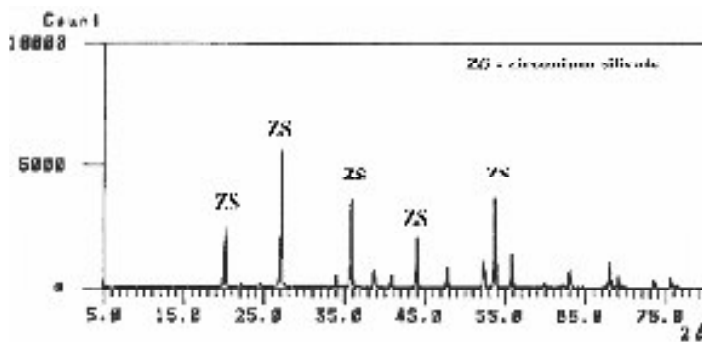
نمودارهای شکل (b) و (a) ۲ تغییرات چگالی توده ای و تخلخل ظاهری نمونه های ساخته شده را با افزایش درصد P_2O_5 در دمای $1450^{\circ}C$ نشان می دهد. ملاحظه می شود که میزان چگالی توده ای در اغلب نمونه ها در محدوده $3-3.5 \text{ gr/cm}^3$ است. ضمن آنکه در نمونه حاوی بایندر P.N مقادیر دانسیته پایینی مشاهده می گردد. با توجه به شکل (b) ۲) میزان تخلخل ظاهری نمونه ها در محدوده $18-26\%$ می باشد. اما با افزودن $5\% \text{ وزنی } P_2O_5$ حاصل از بایندر T.P.P مقادیر تخلخل تا 13% نیز کاهش یافته است. نمودارهای شکل ۳ نتایج حاصل از اندازه گیری استحکام خمشی سرد نمونه های حاوی بایندرهای مختلف با درصد های متغیر P_2O_5 را که فاقد کائولن هستند نشان می دهد. همانطور که ملاحظه می شود با افزایش درصد P_2O_5 و دمای پخت، استحکام خمشی سرد نیز افزایش یافته است. ضمن آنکه بایندر T.P در اغلب موارد بیشترین استحکام را به دست داده است. در دمای $500^{\circ}C$ استحکامهای بالای 5 MPa با افزودن $3-5\%$ P_2O_5 حاصل از بایندر T.P حاصل شده است. به نظر می رسد که در این دما باندهای فسفاتی که بیشتر شامل فازهای فسفات هیدروژن آلومینیوم و یا فسفات هیدروژن زیرکونیوم آمورف و یا کریستالین هستند، وجود داشته باشند. از آنجا که گزارش شده است این فازها بیشتر پس از خشک شدن نمونه در دماهای پایین (به عنوان مثال $110^{\circ}C$) تشکیل می شوند، احتمال دارد به دلیل افزایش دما مقداری از آنها تجزیه و یا دهیدراته شده و بنابراین استحکام نمونه ها در این دما کمتر از دمای محیط می باشد [۸]. همچنین نتایج حاکی از آن است که استحکامهای حاصل از افزودن بایندر A.P.N بسیار پایین می باشند. شکل ۳(b) استحکام خمشی نمونه ها را پس از پخت در دمای $1200^{\circ}C$ نشان می دهد. در این دما وقوع پدیده زینتر اولیه و حضور فازهای فسفاتی باعث افزایش استحکام شده است. در این نیز بایندر های T.P.A و P.T.P در مقادیر $3-5\% \text{ وزنی } P_2O_5$ استحکامی بیش از 13 MPa را ایجاد کرده اند. این روند در مورد نمونه های پخته شده در $1450^{\circ}C$ شدت یافته و در نمونه های حاوی $5\% \text{ وزنی } P_2O_5$ حاصل از بایندر T.P.P استحکامی بیش از 38 MPa حاصل شده است. بنابر این با توجه به نتایج حاصل از اندازه گیریهای خواص فیزیکی و مکانیکی چنین به نظر می رسد که استفاده از $5-3\% \text{ وزنی } P_2O_5$ حاصل از بایندرهای T.P.P و P.A در ساخت جرمهای تعمیری باند فسفاتی زیرکنی مناسب باشد. هر چند گزارش شده است که افزودن مقادیر بیش از حد بایندرهای فسفاتی می تواند تاثیرات منفی بر خواص مکانیکی گرم محصول داشته باشد [۱۴]. ضمن آنکه باید توجه نمود حضور مقادیر بیش از حد بایندرهایی نظیر اسید فسفریک در نمونه ها ممکن است با توجه به وجود ناخالصی های فلزی حاصل از مواد اولیه و یا فرایند تولید، پدیده تشکیل حبابهای گاز هیدروژن و تخریب قطعه را تشید نماید [۱۷].

شکل ۶ - دیاگرام فازی سه تابی
[۱۳] $\text{ZrO}_2\text{-SiO}_3\text{-Al}_2\text{O}_5$



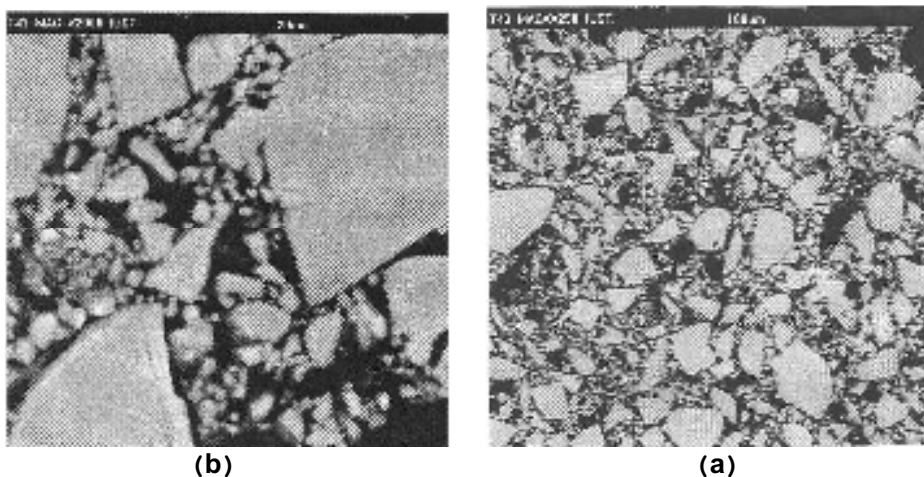
۲-۳- تعیین درصد بهینه افزودن کائولن

در ادامه این تحقیق به منظور شناسایی اثر افزودن کائولن بر خواص محصول، این ماده به صورت پودر و در درصدهای ۵، ۷ و ۱۰ به نمونه ها اضافه و خواص فیزیکی و مکانیکی آنها با یکدیگر مقایسه گردید. ضمن آنکه باید یادآور شد در این بخش مقدار ۵٪ P_2O_5 حاصل از بایندر T.P.P. در تمامی نمونه ها ثابت در نظر گرفته شد. شکل ۴ تغییرات استحکام نمونه ها را با افزایش درصد کائولن در دماهای پخت مختلف و شکل ۵ تغییرات خواص فیزیکی نمونه ها را با افزایش درصد کائولن پس از پخت در دمای 1450°C نشان می دهد. همانطور که ملاحظه می گردد با افزایش درصد کائولن در نمونه های پخته شده در 500°C کاهش تدریجی استحکام مشاهده شده است. در حالیکه این روند در نمونه های پخته شده در 1200°C و 1450°C منجر به افزایش استحکام مکانیکی شده است. با توجه به دیاگرام سه جزئی شکل ۶ ملاحظه می گردد که این ترکیب از کائولن زلتیت و زیرکن، در دیاگرام سه جزئی $\text{SiO}_2\text{-Al}_2\text{O}_3\text{-ZrO}_2$ در روی خطی بین نقاط با ترکیب ۶۷٪ ZrO_2 و ۳۳٪ SiO_2 و نقطه با ترکیب ۶۰٪ ZrO_2 ، ۳۵٪ SiO_2 و ۴٪ Al_2O_3 می باشد. این ترکیبات در دیاگرام متلتی $\text{ZrO}_2\text{-SiO}_2\text{-}3\text{Al}_2\text{O}_3\text{-}2\text{SiO}_2$ و با نسبت بالای کائولن قرار می گیرند. با اضافه شدن ۵٪ P_2O_5 به این سیستم علاوه بر فازهای فوق، فازهای فسفات آلومینیوم، فسفات سیلیکات آلومینیوم و یا فسفات زیرکونیوم و ... نیز وجود خواهند داشت. فاز مولایت از دو منشاء می تواند حاصل گردد که یکی تجزیه کائولنیت و تبدیل آن به متاکائولن و در نهایت اسپینل سیلیکاتی و مولایت است و دیگری تجزیه زیرکن در دمای بالاتر از 1550°C و اکنش سیلیس حاصل از آن با Al_2O_3 موجود در فاز شیشه می باشد. مقادیر استحکام برای باندهای تری پلی فسفات سدیم حاوی ۵٪ و ۷-۱۰٪ کائولن پس از پخت در 1450°C برابر 1450 MPa می باشد. به نظر می رسد که در این دما فرایند زینتر بیشتر روی داده و احتمال تشکیل فاز مولایت به مقدار کافی وجود دارد.



شکل ۷- الگوی پراش اشعه XRD(X) حاصل از نمونه حاوی ۵٪ P_2O_5 حاصل از T.P.P. پس از پخت در 1450°C

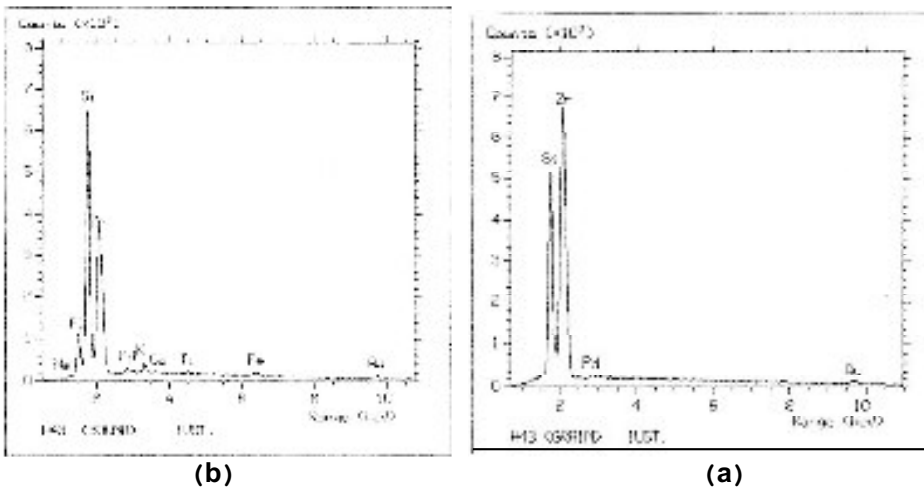




شکل ۸- تصویر SEM از ریزساختار اگریگیتهای زیرکن در بزرگنمایی های (a) ۲۰۰ و (b) ۲۵۰ برابر

۳-۳- بررسی های فازی و ریزساختاری

شکل ۷ آنالیز فازی نمونه حاوی ۵٪ بایندر P.P.T و ۱۰٪ کائولون پخته شده در دمای 1450°C را نشان می دهد. همانطور که در این تصویر ملاحظه می گردد پیکهای مربوط به فاز سیلیکات زیرکونیوم قابل مشاهده است. البته امکان تشکیل مقداری فاز مولاپیت نیز در بدنه ها وجود دارد که به دلیل مقدار اندک ($< 4\%$) در الگوی پراش اشعه X یا تصاویر ریز ساختاری چنان قابل مشاهده نیست. در شکل (a) و (b) ریزساختار نمونه حاوی ۱۰٪ کائولون زلتیز و ۵٪ P_2O_5 حاصل از بایندر تری پلی فسفات سدیم پس از پخت در دمای 1450°C آورده شده است. آنالیز نقطه ای اگریگیتهای سفید رنگ و فاز زمینه مطابق نمودارهای شکل (a) و (b) نشان دهنده وجود عناصر Zr و Al در باند و Si و Zr در ذرات موجود می باشد. در باندهای فسفاتی در مورد مطالعه در بدنه های سیلیکون کاربیدی مشاهده شده است که در دمای بالا (1450°C) باند فسفاتی در سطح قطعات تبدیل به فاز شیشه شده و فقط در عمق باقی می ماند. در بدنه های سیلیکون کاربیدی با افزودن ۳٪ $\text{Al}(\text{OH})_3$ این باند ثابت شده است. بنا بر این به نظر می رسد که فازهای فسفاتی در دمای بالا به فاز شیشه تبدیل شده و باعث بهبود زیتر و در نتیجه افزایش بیشتر استحکام قطعات می گردد [۱۹].



شکل ۹- آنالیز EDS از (a) ذرات زیرکن و (b) ناحیه باند موجود در ریزساختار شکل (b)

۴- نتیجه‌گیری

در این تحقیق با توجه به بررسی خواص نمونه‌های ساخته شده با فرمولاسیونهای متفاوت آشکار گردید که میزان مناسب کائولن برای ساخت جرمهای تمیزی زیرکنی در حدود ۱۰-۷٪ و نیز میزان مناسب باند فسفاتی حاوی ۳-۵٪ P_2O_5 می‌باشد. همچنین باند تری پلی فسفات سدیم در دماهای مختلف از ۵۰۰°C تا ۱۴۵°C نسبت به باندهای هگزاماتافسفات سدیم، آلومینا فسفات سدیم و اسید فسفریک برتری محسوسی از نظر استحکام خمشی سرد و نیز سایر خواص فیزیکی دارد. همچنین ملاحظه گردید که استحکام خمشی حاصل از باند تری پلی فسفات سدیم با ورود ۵٪ P_2O_5 و ۱۰٪ کائولن در دمای ۱۴۵°C برابر MPa ۳۳/۵۸ به دست می‌آید.

مراجع

1. H.Shikano, "Refractories Handbook", Technical Association of Refractories, Japan, 1998.
2. S.Bannerjee, "Monolithic Refractories", A Comprehensive Handbook, American Ceramic Society, 1998.
3. R.Kerbs, "Unshaped Refractory Product", Proceedings of the International Seminar on Monolithic Refractory Materials, Tehran, 1997.
4. T.Ishino, K.Matano, "High zirconia fused cast refractory and its latest development", UNITECR Proceedings, p.p. 23-25, Japan, 2003.
5. W. Baumgart, A.C.Dunham, G. Christian Amstutz, "Process Mineralogy of Ceramic Materials", Grammlch Plizhausen, 1984.
6. W. Bilke, D. Paetsch, "Ceramic Monographs Handbook of Ceramics", Verlag Schmid GmbH, Germany , 1979.
7. S.Veladimier, P.Primachenko, "Rammed mix from zirconium dioxide stabilized by yttrium", UNITECR Proceedings, p.p. 221-224, Japan, 2003.
8. Y.Yoshimi, M.Tanaka, Y. Ishikawa, "Development of self-hardening phosphate bonded patching materials", UNTECR proceedings, p.p. 39-42, Japan, 2003.
9. Z.Li, G.Ye, "Bonding and recent progress of monolithic refractoris", Interceram, Vol.41, No.3, 1992.
10. K.Othmer, "Encyclopedia of Chemical Technology", Third edition, V.4, John Wiley and Sons, 1978.
11. K.Fisher, "Chemical bonds for refractory materials", American Ceramic Society, No.12, p.p.51-64, 1969.
12. H.D.Sheets, J.J. Bulloff and W.H.Duchworth, "Phosphate bonding of refractory composition", Refractories, Vol.34, No.9, p.p.402-406, 1958.
13. J.E.Cassidy, "Phosphate bonding, then and now", Ceramic Bulletin, Vol.56, No.7, 1977.
14. J.E. Cassidy, "A review of phosphate-bonded refractories in high temperature chemistry of inorganic and ceramic materials", The Chemical Society, London, 1976.
15. C. Toy, O.J. Whittemore, "Phosphate bonding with several calcined aluminas", Ceramic Internatianal, Vol.15, p.p. 167-171, 1989.
16. M.J. OHARA, J.J. Duga, H.D. Sheets, "Studies in phosphate bonding", Ceramic Bulletin, Vol.51, No.7, 1972.
17. A.H. Foessel and W.S. Treffner, "Improved phosphate – bonded basic refractories", Ceramic Bulletin, Vol. 49, No. 7, 1970.
18. Rath S.R., "Phase Diagram for Ceramists", Vol. IV, American Ceramic Society, Ohio, 1984.
19. V.K.Marghussian, R.Naghizadeh, "Chemical bonding of silicon carbide", Journal of the European Ceramic Society, 19, 2815-2821, 1999.

فرمولاسیون، ساخت و خواص سرامیکهای PTCR

زیارت علی نعمتی

قطب علمی فرآیندهای نوین ساخت و شکل دهی مواد، دانشکده مهندسی و علم مواد،
دانشگاه صنعتی شریف

Nemati@sharif.edu

چکیده: در این تحقیق، سنتز سرامیکهای تیتانات باریم همراه با افزودنی سریم انجام گرفت که در آن اثر یون سه ظرفیتی سریم (trivalent) بر روی خاصیت PTCR تیتانات باریم بررسی شد. ابتدا نمونه هایی با فرمول کلی $BaTiO_3$ و با درصد های مختلف سریم (کلرور سریم آبدار) به صورت قرص تهیه و پس از زینترینگ، خواص الکتریکی نمونه ها بررسی شد. نمونه ها در محدوده دمایی 0°C - 135°C زینترینگ و پس از پولیش و الکترود گذاری، خواص الکتریکی آنها در ولتاژ های مختلف ارزیابی و رفتار تابعیه PTCR و NTCR و سوئیچینگ خودکار نمونه ها بین دو تابعیه به بحث و بررسی گذاشتند.

از نتایج حاصل مشخص گردید که با افزایش مقادیر افزودنی مقاومت ویژه در دمای محیط ابتدا کاهش و سپس افزایش می یابد و در ناحیه $0\text{--}13\%$ mol mol^{-1} تا خالصی سریم به یک مینیمم می رسد. نتایج اندازه گیری منحنی جریان - زمان نشان داد که با افزایش ولتاژ اعمالی به نمونه زمان سوییج نمونه از حالت NTCR به PTCR کاهش می یابد. تشکیل فاز مزاحم فاز پایی تیتانات با جلوگیری از انجام فرآیند زینترینگ موجب کاهش خواص الکتریکی می شود. با توجه به نتایج و بحث شیمی عیوب نتیجه گیری شد که احتمالاً در مزدane، عنصر سریم به جای باریم نشسته است (تشکیل جای خالی باریم) و این منطقه از باریم فقیر شده است.

کلیدواژه ها: سرامیک های الکتریکی، تیتانات باریم، اثر PTCR، اکسید سریم، خواص الکتریکی.

۱- مروری بر منابع مطالعاتی

سرامیکها در صنایع مختلف مصارف عمده ای دارند که در برگیرنده مجموعه وسیعی از سرامیکهای معمولی و سرامیکهای مهندسی تا بکارگیری سرامیکهای مغناطیسی و دیگر سنسورهای سرامیکی و همچنین مصرف قطعات سرامیکی در موتورها میباشد. در سه دهه اخیر پیشرفت های چشمگیری در زمینه بکارگیری سرامیکها در صنایع نظامی و غیر نظامی حاصل شده است. از جمله مواد نوین، مواد هوشمند می باشد. خواص، کاربرد و ویژگیهای مواد هوشمند باعث شده است روز به روز بر اهمیت آنها افزوده شده و تحقیقات علمی و کاربردی فراوانی در خصوص آنها صورت پذیرد.

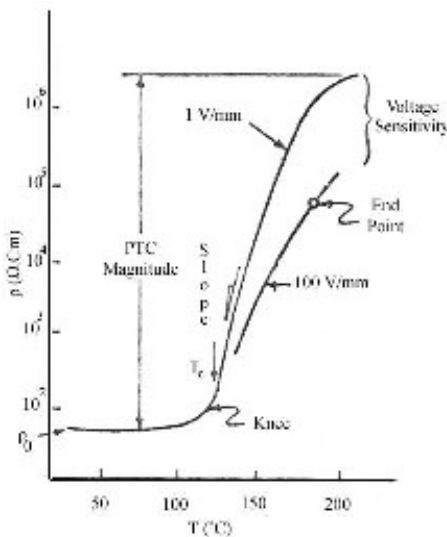
سرامیکها تقسیم بندی و گروه بندیهای متفاوتی دارند که در منابع ارائه شده است. در این قسمت به بررسی خواص و کاربرد یکی از سرامیکهای الکتریکی اشاره خواهد شد. سرامیکهای بر پایه $BaTiO_3$ از معروفترین و پرکاربردترین مواد در زمینه قطعات^۱ PTCR - NTCR می باشند. این مواد در محدوده های معینی از دما و به طور ناگهانی دارای مقاومت ویژه بالا می شوند. این اثر شدیداً تحت تاثیر ناخالصی ها، افزودنی ها و فرآیند تولید می باشد. سرامیکهای تیتانات باریمی از ترکیب دو اکسید TiO_2 و BaO تشکیل می شود. تیتانات باریم دارای ساختارهای کریستالی متعددی می باشد که دو ساختار مهم آن مکعبی و تتراغونال است. در بالای 125°C شکل مکعبی با تقارن مرکزی است و در زیر این دما تتراغونال و بدون تقارن مرکزی است که به همین دلیل دارای پلاریزاسیون دائمی می باشد [۱-۳].

^۱ Positive & Negative Temperature Coefficient of Resistance(PTCR & NTCR)



۱-۱- نحوه عملکرد خاصیت PTC در تیتانات باریم

همانطور که اشاره شد این مواد در اثر عبور جریان الکتریکی، مقاومتی از خود نشان میدهند که مقدار این مقاومت با دما متغیر است. از این خاصیت ماده می‌توان برای کاربردهای سوئیچینگ و کنترل خودکار دما و یا مقاومت استفاده کرد. از آنجا که سیستم در دو محدوده PTC و NTC از نظر شبیه منحنی دما - مقاومت (شکل) منفی و مثبت است چنانچه سیستم را طوری طراحی کنیم که انتقال مورد نیاز در فرآیند سوئیچینگ با انتقال در دمای کوری (T_c) در کنار هم قرار گیرند می‌توان مصارف عمده‌ای را از این فرآیند علمی در صنایع بوجود آورد [۱-۵]. استفاده از مواد PTC در دهه سال ۱۹۵۰ با کاربردهای حساس به دما شروع شد و با کاربردهای گرمایشی دینامیک که اتفاق انرژی بالایی دارند ادامه یافت. تیتانات باریم ($BaTiO_3$) در دمای بالا دارای ساختاری کریستالی پروسکایت است که یون Ti^{4+} موقعیت بین نشینی مرکزی را درون هشت وجهی اکسیژن اشغال می‌کند، در صورتیکه یونهای Ba^{2+} در گوشه‌ها قرار می‌گیرند. اندازه کوچکتر یون Ti^{4+} نسبت به جای خالی هشت وجهی باعث ایجاد موقعیت‌هایی با انرژی حداقل در مرکز هشت وجهی برای یون Ti^{4+} می‌شود که در نتیجه ممان دی پل بزرگ و پایدار و پلاریزاسیون خود بخودی در حالت تراکونال را افزایش میدهد. به همین دلیل، ثابت دی الکتریک $BaTiO_3$ بالا بوده و بسته به ترکیب و اندازه دانه‌های زینتر شده، در محدوده ۴۰۰۰-۱۵۰۰۰ قرار دارد. این اثر هم شدیداً تحت تاثیر ناخالصی‌ها و فرآیند تولید می‌باشد [۶-۷].



شکل ۱ طرح شماتیک منحنی دما - مقاومت برای مواد PTC

در منحنی دما - مقاومت (شکل ۱)، چندین نقطه و منطقه مهم وجود دارد که عبارتندار:

- ۱- نقطه نهایی که مربوط به تعادل حرارت ایجاد شده در قطعه با حرارت انتقال یافته از قطعه به محیط اطراف خود است. بررسیها نشان داده است که این نقطه تقریباً نزدیکی دمای کوری سیستم می‌باشد.
- ۲- محدوده PTC $\log(R_{max}/R_{min})$ که هرچه اختلاف حداکثر وحدائق مقاومت الکتریکی بیشتر باشد قابلیت کاری و ضریب اطمینان بیشتر می‌شود.
- ۳- حساسیت ولتاژ $\log[R_{min}/R_{RT}]$ که نشانگر رفتار سیستم در ناحیه با مقاومت منفی است.
- ۴- دمای کوری که تقریباً نشان دهنده دمای سوئیچینگ است.
- ۵- شبیه منحنی دما - مقاومت در بالای دمای کوری، که با دوعامل ولتاژ اعمالی و مواد افزودنی قابل کنترل است.

مکانیزم فیزیکی افزایش ناگهانی مقاومت به این ترتیب است که در هنگام سرمایش از دمای زینترینگ





جاهای خالی باریم که به عنوان پذیرنده^۲ عمل می‌کنند از مرز دانه به سمت دانه نفوذ می‌کنند و حاملین بار الکتریکی را که در دماهای بالا تولید شده‌اند خنثی می‌کنند و به دام می‌اندازن. بدین ترتیب یک ناحیه عایق در اطراف دانه تشکیل می‌دهند که به صورت لایه نازک در اطراف مرز دانه ایجاد شده و یک لایه تخلیه الکتریکی^۳ ایجاد می‌گردد [۱۰-۱۵]. وجود مکانهای پذیرنده الکترون که ناحیه عایق را به وجود آورده، به اضافه مکانهای بخشندۀ یونیزه نزدیک مرز، باعث ایجاد یک لایه دوگانه الکتریکی می‌گردد. بنابراین الکترونهای باند هدایت هنگام حرکت از داخل دانه به سمت مرز دانه با یک سد انرژی پتانسیل بزرگ به ارتفاع Φ برخورد می‌کند که گذشتن از این ناحیه احتیاج به انرژی بالای دارد [۱۱-۱۶]. انرژی لازم برای غلبه بر این سد در دمای پائین بوسیله انرژی پلاریزاسیون تامین می‌شود (زیر دمای کوری) و تا دمای معینی ادامه می‌یابد [۱۷]. افزایش دما باعث کاهش پلاریزاسیون شده و در نتیجه اثر پلاریزاسیون بتدریج کم می‌شود. به مرور با افزایش دما به دمای انتقال یا همان دمای کوری می‌رسیم. هرچه به دمای کوری تزدیک‌تر شویم اثر پلاریزاسیون کاسته می‌شود و با عبور از T_c سیستم به ساختار مکعبی تبدیل خواهد شد که متقاضن است. با توجه به اینکه مرز دانه همچنان به عنوان یک عایق و یا نیمه هادی عمل می‌کند، اما چون پلاریزاسیون نداریم سد پتانسیل موجود در مرز دانه کنترل کننده شده و مقاومت سیستم افزایش می‌یابد [۱۶-۱۷]. به عبارت دیگر، در بالای دمای کوری که پلاریزاسیون به سمت صفر میل می‌کند مقاومت مرز دانه ای خود را نشان می‌دهد. نگاه ساختاری به این پدیده از مکانیزم تغییرات مقاومت - دما بدین ترتیب صورت می‌گیرد که اگر چند ذره را در نظر بگیریم مابین ذرات توسط مرز دانه‌های پوشیده شده است. همانطور که گفته شد در برابر هدایت ذرات در مرز دانه یک مانع بزرگ برای هدایت بوجود می‌آید که به خاطر ساختار متفاوت در مرز دانه و پدیده جدایش فازی، تمرکز ناخالصیها در مرز دانه‌هاست. لذا در مرز دانه‌ها سد پتانسیلی تشکیل می‌شود و هر زوج دانه شرایط نیمه هادی - عایق - نیمه هادی و یا هادی - هادی - نیمه هادی به خود می‌گیرد. تقویت کننده‌های با ظرفیت چندگانه (5^+ و 3^+ مانند Nb , Sb , La و Ti) در مکانهای Ba و O کنترل کننده خاصیت نیمه هادی بوده و موجب تغییر مقاومت سیستم می‌شوند. به همین دلیل هموزن سازی ساختار بسیار حائز اهمیت می‌باشد. بهترین روش برای همگن سازی و ساخت ترمیستور PTC روش‌های سل ژل^۴، هم رسوبی^۵ و خشک کردن پاششی^۶ می‌باشد. نتیجه بکارگیری این روش‌ها دستیابی به ساختار بسیار همگن و یکنواخت، توزیع مناسب افزودنی تقویت کننده و سیستم تکفاز می‌یابد [۱۲-۱۸].

۱- نقش مواد افزودنی:

در منابع متعدد علمی این مسئله یعنی نقش مواد افزودنی مطالعه و بررسی شده است که خلاصه آنها در اینجا ارائه شده است [۱۸-۱۵].

- افزودنیهای هم ظرفیت (Isovalent dopants):

جایگزینی عناصری مثل (Sr, Pb) باعث تغییراتی در دماهای تبدیل ساختار می‌گردد (شکل ۲). چنانچه ملاحظه می‌گردد Ca تاثیر چندانی بر دمای کوری ($125^\circ C$) ندارد ولی باعث بهبود اندازه دانه و ریز ساختار می‌گردد. از طرفی Pb دمای کوری را افزایش ولی آن را کاهش می‌دهند.

- افزودنیهای با ظرفیت چندگانه (Altervalent dopants):

با اضافه کردن تقویت کننده‌ای مثل La^{3+} نیمه هادی نوع n حاصل می‌شود. بنابراین برای اینکه تعادل بار

² Acceptor

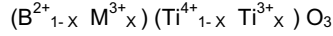
³ Depletion layer

⁴ Sol-gel

⁵ Coprecipitation

⁶ Spray Drier

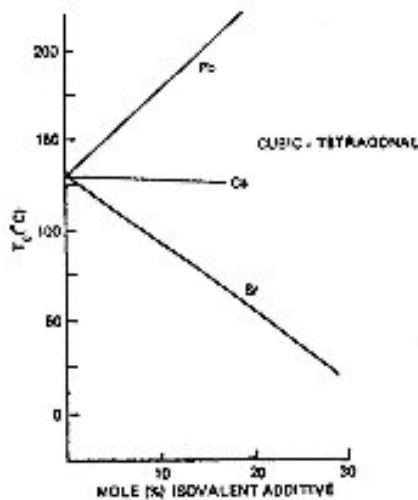
الکتریکی به هم نخورد از لحاظ شیمیایی به ازای هر یون سه ظرفیتی یک Ti^{3+} جایگزین یک یون Ti^{4+} در شبکه پروسکایت می‌گردد که فرمول کلی سیستم به این صورت در می‌آید:



که X ، مقدار جایگزینی افزودنی M^{3+} سه ظرفیتی می‌باشد. البته می‌توان از تقویت کننده‌های پنج ظرفیتی که با Ti^{4+} جایگزین شوند هم استفاده کرد. بررسی‌های به عمل آمده نشان داده است که حداقل مقاومت در محدوده $(0/۲-۰/۳)$ درصد غلظت مولی عنصر جایگزین شده در دمای محیط مشاهده می‌گردد.

- اصلاح کننده‌های لایه سد شاتکی:

بررسی‌ها نشان داده است که برخی از یون‌های فلزی انتقالی، خصوصاً آنهایی که دارای تغییر ظرفیت هستند مانند Cr, Fe, Mn باعث افزایش اثر PTC می‌گردند. بررسی‌دانه‌ها و فاز‌های ثانویه در مرز دانه نشان می‌دهد که بخش عمده‌ای از اضافه شونده‌ها و Ti اضافی و Si در فازهای مرز دانه‌ای تجمع پیدا می‌کنند. این فازهای ثانویه علاوه بر کمک به زینترینگ، اثرات دیگری هم دارند که از جمله این است که ناخالصی‌های مضر دیگر را جمع آوری نموده و در فازهای مرز دانه‌ای متمرکز می‌کنند. به عنوان مثال فاز مذاب سیلیکاتی حاوی Ba-Ti باشد میزان خوبی برای قلیائی‌ها و قلیائی‌های خاکی و دیگر مواد مضر برای PTC می‌باشد.



شکل ۲- اثر مواد افزودنی در دمای کوری سیستم

۲- اهداف و روش تحقیق

در این تحقیق، فرمولاسیون و ساخت یک نوع سرامیک هوشمند، که همان سرامیک تیتانات باریم با افزودنی‌های خاص است انجام گرفت. مواد اولیه مصرفی شامل پودرهای $BaCO_3$ و TiO_2 از شرکت مرک آلمان با خلوص آزمایشگاهی بالا ($>99.9\%$) و $CeCl_3 \cdot 7H_2O$ محصول شرکت Fluka با خلوص بالا بود. مواد اولیه فوق برای رسیدن به استوکیومتری $TiO_2/BaCO_3 = 1/0.1$ (حدود یک درصد مولی TiO_2 اضافی جهت کمک به بهبود زینتر پذیری) باهم ترکیب شدند. برای افزایش یکنواختی سیستم از روش هموزن سازی حالت تر و تهیه دوغاب توسط الكل و سپس همزدن و خشک کردن مناسب استفاده شد. به همین دلیل، عمل اختلاط در چندین مرحله و به صورت خشک و تر صورت گرفت تا همگنی سیستم بهبود یابد. روش اختلاط پودرها به این ترتیب بود که ابتدا پودرهای $BaCO_3$ و TiO_2 بهم راه مقدار لازم از افزودنی $(CeCl_3 \cdot 7H_2O)$ ، ($0/1$ ، $0/2$ ، $0/3$ ، $0/4$ ، $0/5$ درصد مولی) و یک درصد مولی TiO_2 اضافی همراه با الكل صنعتی (الکل متیلیک) همزده شد تا یک سوسپانسیون (دوغاب) به دست آید. سپس سوسپانسیون در دمای





۳- نتایج و بحث

۱-۳- بحث و بررسی پارامترهای موثر در فرآیند ساخت و نقش مواد اولیه

خلوص مواد اولیه یکی از عمدۀ ترین مسایل در ساخت قطعات PTCR می باشد. همانطور که در منابع ذکر شده [۱-۵]، مقادیر بسیار کم از ناخالصی ها می توانند خواص نمونه را تحت الشعاع قرار دهد. با توجه به اینکه مواد اولیه مورد استفاده در این پژوهش محصول شرکت مرک آلمان بوده و خلوص بسیار بالایی داشت بنابراین احتمال وجود ناخالصی در سیستم بسیار کم می باشد. علت پایین بودن دمای زینترینگ علی رغم عدم حضور ناخالصیه، وجود TiO_2 اضافی می باشد که موجب کاهش دمای پخت شده است. بدون حضور TiO_2 اضافی زینتر حتی تا دماهای $1450^{\circ}C$ نیز مشکل است. این نکته در مراحل مختلف نیز ذکر شده است [۱-۱۰]. این مسئله در دیاگرام فازی شکل (۳) نشان داده شده است.

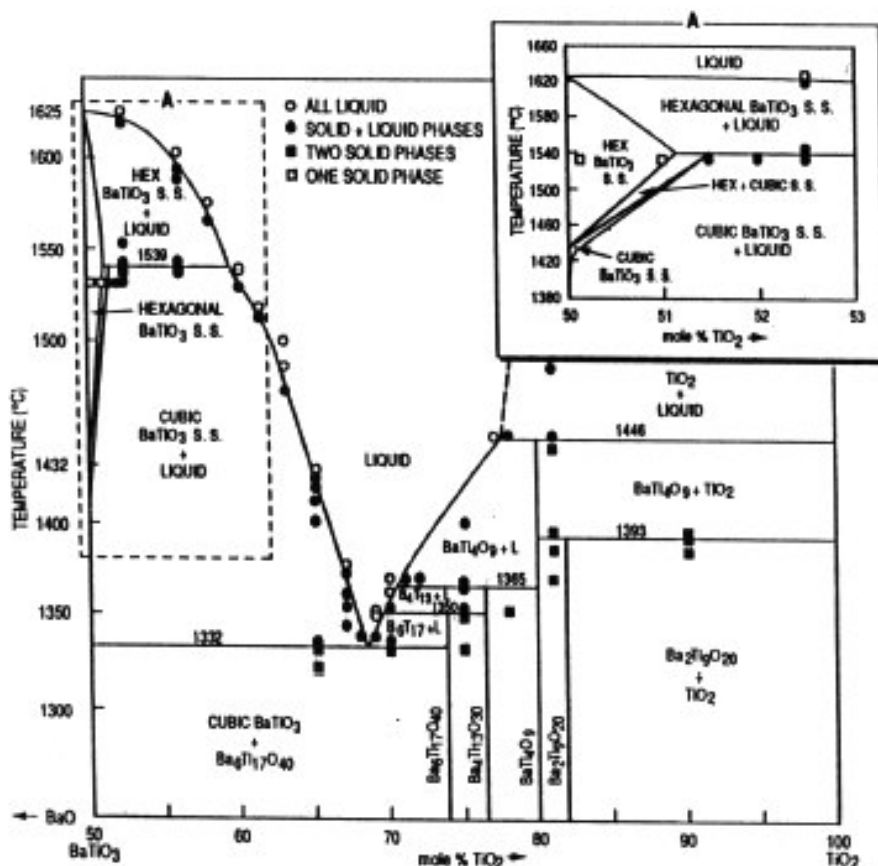
سعی شد که از روش اختلاطی استفاده شود که حداکثر یکنواختی را ایجاد نماید و در عین حال از روش اختلاط پودر در حالت خشک نیز مؤثرتر باشد. بنابراین از روش تهیه و آماده سازی دوغاب توسط الکل و سپس همزدن و خشک کردن مناسب استفاده شد. یکی از روش‌های کنترل این مسئله، اندازه گیری مقاومت

در داخل یک بوته آلومینیایی ریخته شد و سپس به مدت ۳ ساعت و در مای $1150^{\circ}C$ قرار داده شد. پس از سرد شدن، توسط آسیاب لرزشی خرد شد. چسب مصرفی PVA بود که به مقدار 0.03% وزنی به پودر اضافه شد. برای به دست آمدن فشار بهینه در پرس نمونه هایی با فشار های متفاوت (معادل ۱۰ تا ۳۵ تن بر سطح مقطع نمونه ها) پرس گردید. پرس مورد استفاده پرس تک محوری و از یک قالب فولادی استفاده شد. نمونه ها به شکل قرص و با ابعاد قطر $2/8\text{ mm}$ و ضخامت 2 mm آماده شدند. نمونه ها در دماهای $1100^{\circ}C$ تا $1350^{\circ}C$ زینتر و مدت زمان ۲ ساعت در دمای ماکریزم نگهداری شدند تا واکنش های احتمالی به صورت کامل انجام گیرد. برای خروج رطوبت و بایندر نیز یک ساعت در دمای $550^{\circ}C$ توقف وجود داشت. سرعت گرم کردن به طور تقریبی $200^{\circ}C/hr$ و سرد شدن نمونه ها در داخل کوره صورت گرفت. برای اندازه گیری دانسیته و تخلخل ظاهری از روش ارشمیدس استفاده شد. پس از این مرحله سطح نمونه ها پولیش و الکتروگذاری شد. از پوشش طلا برای این منظور استفاده شد. تغییرات مقاومت و جریان عبوری از نمونه ها در ولتاژهای مختلف و در درجه حرارت های متفاوت اندازه گیری شد.

پس از تهیه نمونه ها و الکتروگذاری، خواص الکتریکی آنها در ولتاژهای مختلف بررسی و رفتار الکتریکی آنها و سوئیچینگ آنها در حالت PTC و NTC به بحث و بررسی گذاشته شد. برای اندازه گیریهای الکتریکی، نمونه ها توسط چسب نقره کنتاکت گذاری شدند. برای اندازه گیری مقاومت مخصوص از دستگاه مقاومت سنج ساخت آلمان Megger (AVO Tech) استفاده شد. دامنه اندازه گیری این دستگاه از $0/0.1$ مگا اهم تا 100 گیگا اهم بود و چون اندازه گیری مقاومتها کمتر از یک صدم مگا اهم توسط این دستگاه محدود نبود، بنابراین از یک دستگاه مولتیمتر آنالوگ نیز برای اندازه گیری مقاومتها کمتر از 1 مگا اهم استفاده شد. مقاومت ویژه نمونه ها از دمای محیط تا حوالی 300 درجه سانتیگراد اندازه گیری شد. برای اندازه گیری منحنی جریان- زمان از یک منبع تغذیه که می توانست ولتاژهای متفاوت ایجاد نماید استفاده شد. جریان عبور کننده از نمونه نیز توسط یک میلی آمپر سنج با فاصله زمانی یک ثانیه اندازه گیری شده و ثبت گردید. حداقل ولتاژ اعمال شده به نمونه ها 25 ولت و حداقل 300 ولت بود. برای انجام آنالیز کیفی و نوع فازهای موجود و اطمینان از انجام واکنش تینتان و کربنات باریم و تشکیل تینتانات باریم الگوی تفرق اشعه ایکس نمونه ها به دست آمد. بررسی ریز ساختار نمونه ها بوسیله میکروسکوپ الکترونی روبشی و آنالیز فازی توسط XRD صورت گرفت.

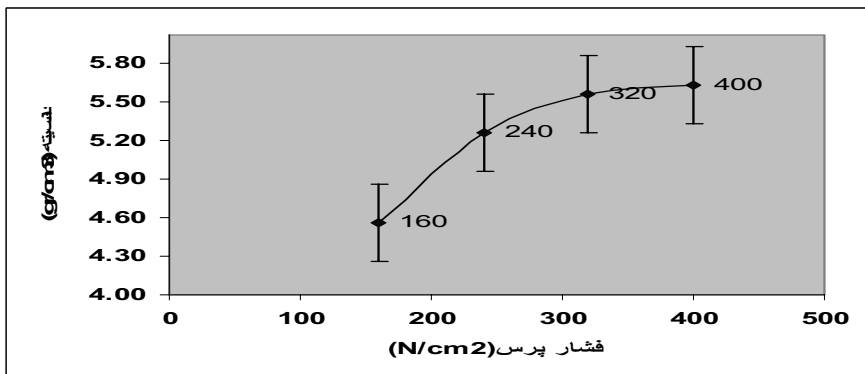
نمونه ها در دمای محیط (پس از زینتریگ در دمای بالا) و نزدیکی اعداد به یکدیگر است که با توجه به نتایج بدست آمده می توان نتیجه گرفت که سریم به طور مناسبی یکسان توزیع شده است. البته بررسیهای تکمیلی که در اینجا نتایج آن ارائه نشده است و فقط در بحث شیمی عیوب کمی به آن پرداخته شده است نشان داد که ممکن است مقداری از سریم وارد شبکه پروسکایت نشده و در مرز دانه دانه ها متتمرکز شود که این مسئله می تواند در رفتار کلی سیستم موثر باشد. البته این پدیده در دیگر مواد افروزنی هم مشاهده شده است[۲۱-۲۲].

فشار پرس در حین شکل دهی دانسیته خام اولیه و همچنین دانسیته نهایی تأثیر مهمی داشته باشد. هر چه فشار اولیه پرس بیشتر باشد نمونه های نهایی تخلخل کمتری را خواهند داشت البته فشار پرس یکی از چند عاملی است که روی دانسیته نهایی تأثیر گذار است. فشار پرس برای نمونه باید یک مقدار اپتیمم داشته باشد زیرا اگر از یک حدی بیشتر شود با عیوب پرس از قبیل لایه ای شدن نمونه ها بعد از زینترینگ مواجه خواهیم شد. در این پژوهش از فشارهای متفاوتی استفاده شد و مشخص گردید که بهترین فشار، فشار حدود 400 N/Cm^2 می باشد. فشارهای بیشتر از این مقدار در شکل دهی نمونه هاباعث ایجاد عیوب بعد از پرس شده و در فشار های کمتر نیز، دانسیته بعد از پخت پایین بود. همچنین با توجه به نمودار تغییرات دانسیته بر حسب فشار پرس بعد از پخت نمونه ها میتوان به نقش تغییر فشار در دانسیته نهایی پی برد (شکل ۴). با افزایش فشار دانسیته به یک اپتیمم رسیده و سپس با افزایش بیشتر نمونه ها دارای عیوب و شکل ظاهری بد بعد از پرس(کندگی سطوح و ترک لایه ای) می شود.



شکل ۳- [11] $\text{BaTiO}_3 - \text{TiO}_2$ دیاگرام دوتایی

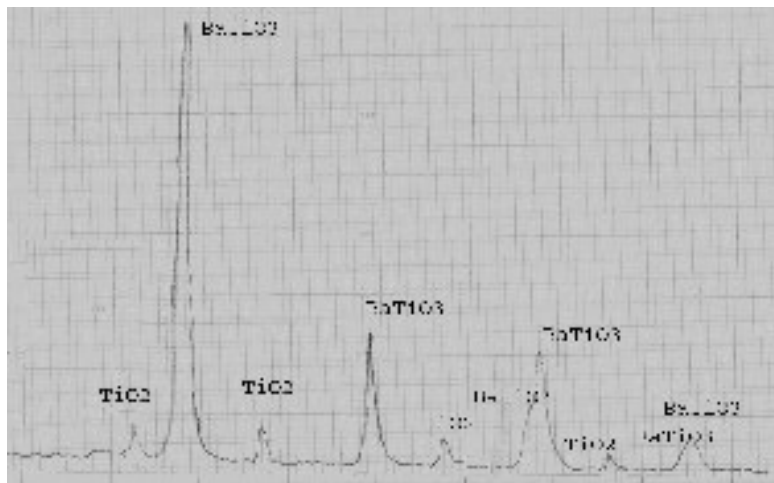




شکل ۴- تغییرات دانتیته بعد از پخت بر حسب فشار پرس

۲-۳- بحث و بررسی ریز ساختاری و فازی

جهت بررسی مرحله به مرحله پیشرفت زینترینگ، بررسی فازی مخلوط پودری قبل و بعد از هر مرحله زینترینگ بررسی شد. بررسی ها نشان داد که پس از عملیات حرارتی در دمای 1150°C ، واکنش پودر ها با یکدیگر شروع شده است لکن در این دما و زمان بکار رفته هنوز مقداری TiO_2 و BaO واکنش نکرده باقیمانده است. پیکهای مربوط به BaO بعلت تلاقی با پیکهای تیتانات باریم قابل تشخیص نبودند (در مقایسه با پیکهای مربوط به BaO خالص). امکان تشخیص اکسید سریم نیز به علت مقدار جزیی آن از این طریق میسر نمی باشد. در شکل (۶) آنالیز فازی سیستم، پس از زینترینگ در دمای 1150°C درجه سانتی گراد نشان داده شده است. همانگونه که انتظار می رفت با افزایش درجه حرارت (در دمای 1350°C درجه سانتی گراد - شکل ۷)، علاوه بر تشکیل فازهای مرزدانه ای خاص (پدیده جدایش فازی در سرامیک های الکتریکی) و تغییر خواص الکتریکی نیز صورت می گیرد که با روش اشعه ایکس قابل شناسائی نیستند. در مقایسه با پیکهای تیتانات باریم خالص (شکل ۸) تشکیل کامل تیتانات باریم در سیستم مورد مطالعه تأیید شده است.

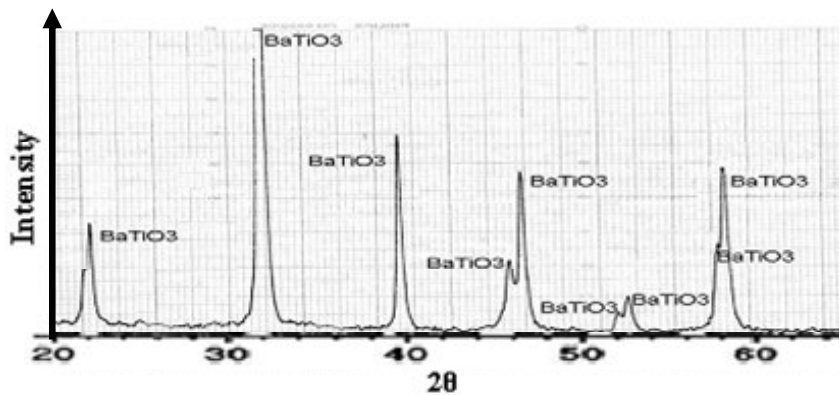


شکل ۶- آنالیز فازی سیستم پس از زینترینگ در دمای 1150°C

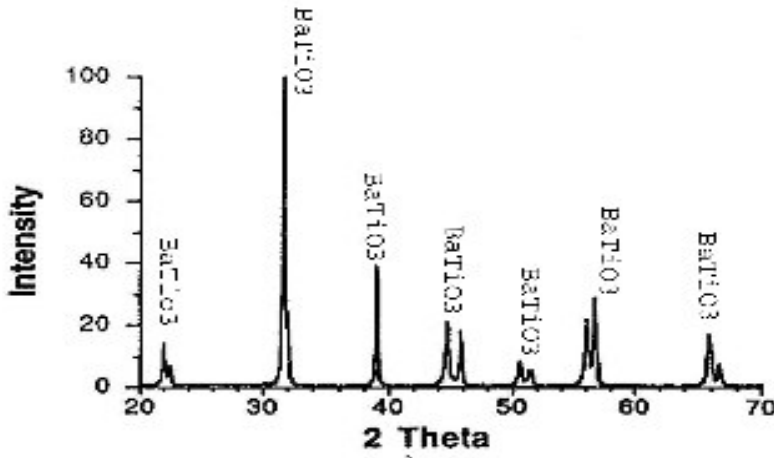
مسئله مهم دیگر در این سیستم، کنترل فرآیند ساخت در راستای رسیدن به سیستم تک فاز می باشد. در بررسی برخی از نمونه ها که اتفاقاً خوب زینتر نشده بودند متوجه تشکیل فاز پلی تیتانات باریم شدیم که در شکل (۹) نشان داده شده است. بررسی های تکمیلی محقق که در اینجا ارائه نشده است نشان داد که علت



وجود فاز پلی تیتانات، $\text{Ba}_6\text{Ti}_{40}\text{O}_{1332}$ (B6) که در دمای 0°C رخ می‌دهد (به شکلهای ۳ و ۶ رجوع شود) و توسط محققان دیگر هم گزارش شده است احتمالاً وجود تیتان اضافی و عدم همگنی پودر اولیه و توزیع غیر یکنواخت TiO_2 در پودر اولیه می‌باشد. یکی از اثرات مشهود حضور این فاز به تعویق انداختن زینترینگ می‌باشد زیرا با تشکیل این فاز راه‌های نفوذ آتمها بسته می‌شود و از انجام فرآیند زینترینگ ممانعت بعمل می‌آید. البته دلیل دیگر تشکیل این فاز می‌تواند (احتمالاً) وجود گرادیان دمایی در داخل کوره و نرسیدن به دمای مناسب زینترینگ باشد. الگوی تفرق اشعه ایکس (XRD) نمونه Ce ۰/۴ mol% پس از عملیات حرارتی در 0°C وجود این فاز را تأیید می‌کند. لازم بذکر است که تشکیل این BaTiO_3 فاز توسط دیگران نیز گزارش شده است [۲۲-۲۷].



شکل ۷- آنالیز فازی سیستم پس از زینترینگ در دمای 0°C

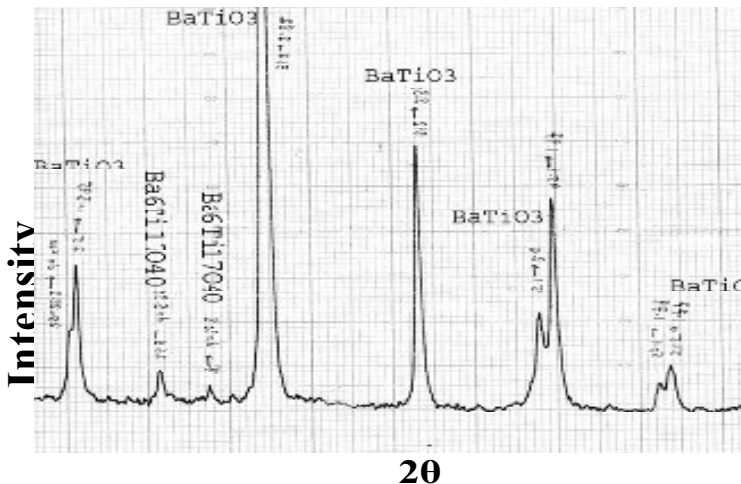


شکل ۸- لگوی تفرق اشعه X برای BaTiO_3 خالص [۱۲]

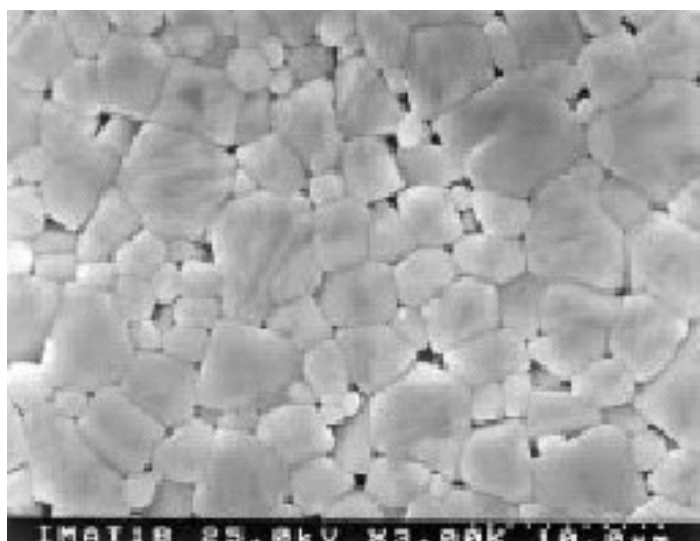
همچنین ریز ساختار یکی از نمونه‌های ساخته شده که بوسیله میکروسکوپ الکترونی بررسی شده در شکل (۱۰) ارائه گردیده است. بررسی‌های بیشتر که توسط محقق صورت گرفته نشان داده است که در ریز ساختار نمونه و در نواحی مرزدانه‌ای جدایش فازی رخ داده است و عناصر Ti و Ce در نواحی مرزدانه‌ای مرکز شده و این ناحیه از Ba رقیق شده است. این مسئله در راستای مشاهدات محققین دیگر می‌باشد [۱۱-۱۰]. این مسئله منجر به تغییر خواص نواحی فصل مشترک و مرزدانه‌ای می‌گردد که این نیز به نوبه خود خواص الکتریکی سیستم را تحت تاثیر قرار می‌دهد. با توجه به این که پدیده PTCR یک پدیده مرز دانه ای است بنابراین هر چقدر مرز دانه بیشتری داشته باشیم کیفیت و رفتار نمونه‌های PTCR بهتر می‌شود. با توجه به



ابعاد دانه در نمونه های مورد مطالعه و فازهای مرز دانه ای تشکیل شده، می توان نتیجه گیری نمود که یکی از دلایل دست یافتن به شب مناسب در منحنی مقاومت ویژه – دما به دلیل ماهیت فازهای مرز دانه ای است. زیرا این شب بستگی به ابعاد دانه و ضخامت لایه سدی ایجاد شده در حین فرآیند زینترینگ در مرز دانه دارد [۴].



شکل ۹ - تشکیل فاز پلی تیتانات باریم در نمونه های خوب زینتر نشده



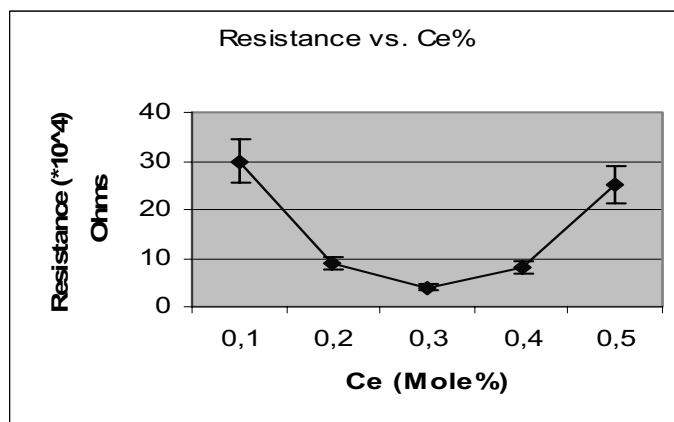
شکل ۱۰ - ریز ساختار نمونه زینتر شده در دمای 1350°C که بوسیله میکروسکوپ الکترونی گرفته شده است

۳-۳-بحث و بررسی خواص الکتریکی

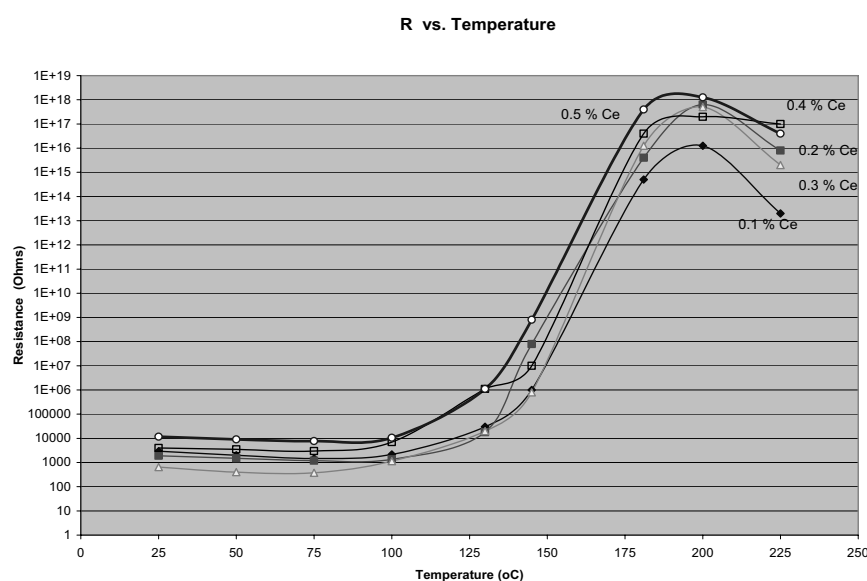
اندازه گیری های الکتریکی در نمونه هایی انجام گرفت که واکنش شیمیایی آنها کامل شده بود (بر اساس نتایج حاصل از مطالعات فازی توسط XRD). در شکل (۱۱) منحنی تغییرات مقاومت الکتریکی در دمای اتاق بر حسب درصد اکسید سریم در نمونه زینتر شده در 1350°C نشان داده شده است. در خصوص ارزیابی اثر مقدار افزودنی، مقاومت دمای محیط (R-T) نمونه ها به عنوان تابعی از غلظت افزودنی، در شکل (۱۱) نشان داده است. این منحنی نشان می دهد که مقاومت R-T با افزایش میزان ماده افزودنی تقویت کننده در مقدار کم ناچالصی کاهش می یابد و در میزان Ce ۰/۳mol% به یک مینیمم می رسد،



سپس با افزایش میزان افزودنی افزایش می یابد. از آنجا که مقاومت در دمای اتاق، عمدتاً بوسیله رفتار و خواص الکتریکی دانه ها (نیمه هادی بودن آنها) کنترل می شود میتوان استنتاج نمود که مقداری از ناخالصی دوپ شده به درون دانه های تیتانات باریم عایق نفوذ کرده و آنرا نیمه هادی نموده است. ظاهراً تغییر و کاهش مقاومت دمای اتاق تا 110°C درصد مولی (شکل ۱۱) ادامه داشته و در مقادیر بیشتر، عمدتاً در نواحی مرز دانه ای متتمرکز شده و مقاومت مرز دانه ای را افزایش داده است. به همین دلیل، مقاومت سیستم در دمای اتاق مجددًا افزایش می یابد. مشابه این رفتار توسط محققان دیگر نیز که از افزودنی های مختلف استفاده کرده اند نیز مشاهده شده است [۱-۱۲].



شکل ۱۱ - نمودار مقاومت ویژه در دمای محیط برای درصد های مختلف Ce

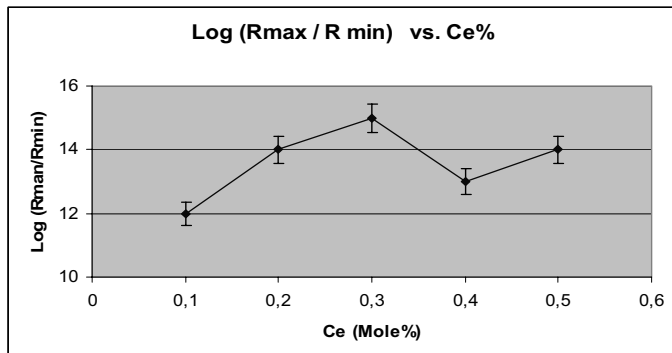


شکل ۱۲ - نمودار تغییرات مقاومت بر حسب دما برای درصد های مختلف اکسید سریم

بررسی های میکروسکوپی و فازی به عمل آمده در این تحقیق و اندازه گیری های الکتریکی صورت گرفته و مطالعات مشابه که با استفاده از ناخالصی های دیگر انجام شده است [۵-۱۵] نشان داده است که مقداری از Ce به درون سیستم پروسکایت نفوذ کرده و آن را تبدیل به یک نیمه هادی می کند (به قسمت بحث شیمی عیوب رجوع شود) که ظاهراً ذرات نیمه هادی نوع n ایجاد می کند. باقیمانده Ce در نواحی مرزدانه ای



متمرکز می‌شوند که بررسی‌های دقیق تری می‌طلبد تا مشخص گردد که آیا مرزدانه‌ها خواص نیمه‌هادی دارند و یا رفتار عایق از خود بروز می‌دهد. در هر دو صورت، از مرکز یک دانه تا مرکز دانه مجاور می‌توانیم یکی از دو مدل را مد نظر قرار دهیم. یا به صورت اتصال دو نیمه‌هادی به نیمه‌هادی نوع سوم (اگر مرز دانه را نیمه‌هادی در نظر بگیریم) و یا به صورت اتصال دو نیمه‌هادی به فاز عایق (اگر مرز دانه را عایق در نظر بگیریم).



شکل ۱۳ - لگاریتم مقاومت ماقریم به مقاومت مینیم به ازاء مقادیر مختلف افزودنی

تغییرات مقاومت نمونه‌های زینتر شده در دیگر درصدهای مختلف اکسید سریم بر حسب دما اندازه گیری شد که نتایج حاصل در شکل (۱۲) ارائه شده است. بر این اساس، دمای کوری T_c حدود ۱۲۵°C تعیین گردید.

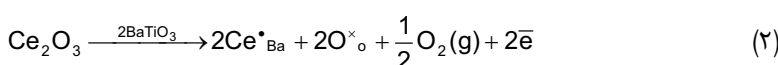
با استفاده از مدل‌های تنوریک که قبلاً به آنها اشاره شد [۱-۵]، تغییرات Log (R_{max} / R_{min}) بر حسب درصد اکسید سریم محاسبه و رسم گردید که در شکل (۱۳) ارائه شده است. همانطور که مشاهده می‌شود حداقل افزایش مربوط به نمونه حاوی ۰/۳ درصد می‌باشد.

۳-۴-بررسی مکانیزم و نحوه عملکرد یونهای سریم

جهت بررسی مکانیزم و نحوه عملکرد سریم، ناگزیر از ارزیابی شیمی عیوب در سیستم و ارائه مدلی برای توجیه رفتار آن می‌باشیم. بنظر می‌رسد که یا تمامی کاتیونهای سریم بصورت سه ظرفیتی هستند و اگر هم درصدی از آن چهار ظرفیتی باشد طی واکنش ذیل ابتداء به سریم سه ظرفیتی تبدیل می‌شود.



سپس، با توجه به واکنش‌های پیش‌بینی شده در مبحث شیمی عیوب، در مقادیر کم ناخالصی کاتیونهای سریم در مکانهای باریم می‌نشینند.



برای حفظ خنثائی الکتریکی و تعادل جرمی در ساختار و با محاسبه ثابت تعادل از دو معادله بالا چنین خواهیم داشت:

$$[\text{Ce}_{\text{Ba}}^{\bullet}] = [\bar{e}] \quad (3)$$

از آنجا که هدایت الکتریکی ذرات توسط معادله زیر به غلظت الکترونهای مربوط می‌شود:

$$\sigma = n e \mu \quad (4)$$

که در آن σ هدایت ماده، n غلظت ناقلهای الکتریکی و μ قابلیت تحرک آنهاست. بنابراین مقاومت دمای محیط با افزایش میزان سریم (افزودنی دونر و یا دهنده الکtron) کاهش می‌یابد. وقتی میزان سریم از یک حد بیشتر می‌شود دو حالت می‌تواند اتفاق بیفتد. کاتیونهای Ce یا می‌توانند جای خالی باریم در سیستم

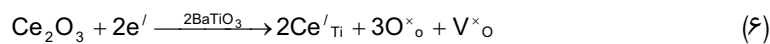




تولید نماید که رابطه مربوطه بشرح ذیل می باشد[۶] :



و یا می توانند مکانهای Ti را اشغال کرده و نقش افزودنی پذیرنده را ایفا کند :



بنابراین غلظت الکترون های آزاد در هر دو حالت کاهش می یابد. زیرا در حالت اول الکترونها توسط جاهای خالی باریم به دام می افتد و در حالت دوم نیز الکترون ها به دلیل جانشینی سریم در مکانهای Ti کاهش می یابند.

در همین رابطه، اثر اتمسفر زینترینگ و سرعت سرمایش نمونه ها نیز حائز اهمیت می باشد. بررسی ها نشان داده است که وقتی BaTiO₃ خالص در هوا زینتر می شود واکنش زیر اتفاق می افتد [۷-۱] :



به دلیل فشار بالای اکسیژن در مرز دانه ها، وقتی نمونه در هوا زینتر می شود این واکنش ترجیحاً در مرز دانه به جای داخل شبکه به وقوع می پیوندد. لذا جای خالی باریم خنثی میتواند توسط الکترونها فراهم شده توسط افزودنی دهنده (سریم) (Ce) مطابق رابطه (7) یونیزه شود:



بر طبق نظریه های مطرح شده در تئوری رفتار PTCR در سرامیکهای BaTiO₃ دوپ شده توسط افزودنی دهنده الکترون (Donor)، به دام افتدان الکترون آزاد توسط جاهای خالی باریم در مرز دانه ها در حین تحول فازی فرو الکتریک علت اصلی خاصیت PTCR است [۱-۷]. در این شرایط، اثر PTCR توسط غلظت جاهای خالی خنثی باریم نمونه ها در دمای پایین مشخص می شود. از معادلات (8) و (9) می توان دریافت که با افزایش میزان ناخالصی سریم، غلظت جای خالی باریم خنثی در مقادیر زیاد افزودنی کاهش می یابد. جای خالی باریمی که توسط مقادیر بیش از حد Ce تولید می شود نمی تواند خاصیت PTCR را تقویت کند (مقاومت دمای محیط را نمی تواند کاهش دهد و یا افزایش مقاومت در ناحیه PTCR را زیاد کند)، زیرا به صورت یونیزه می باشد (معادله ۴). بنا براین این جای خالی نمی تواند به عنوان دام برای گیر انداختن الکترون های آزاد عمل کند. فشار اکسیژن بالا میتواند از یونیزه شدن جاهای باریم خنثی جلوگیری نموده (معادله ۹). همچنین می تواند جاهای خالی باریم خنثی بیشتری در مرز دانه ها تولید نماید (معادله ۷). بنابراین بحث فوق می توان نتیجه گرفت که علت کاهش و سپس افزایش مقاومت دمای محیط نمونه ها دلایل فوق است. بر اساس منابع موجود مقاومت دمای اتاق اساساً به عواملی چون میزان و نحوه توزیع افزودنی تقویت کننده (سریم)، دمای زینترینگ و میزان تخلخل بستگی دارد.علاوه بر این، شیب منحنی PTCR نیز بستگی به سرعت سرمایش (عبور از ناحیه اکسیداسیون) و سایر عوامل همچون میزان تیتانیم اضافی ارتباط خواهد داشت.

۴- نتیجه گیریها

- در این تحقیق سرامیک های الکتریکی PTCR از تیتانات باریم همراه با مواد افزودنی زینتر گردید که در فرمولاسیون طراحی شده دمای زینترینگ ۱۳۵۰°C بود.
- با توجه به نمودار تغییرات دانسیته بر حسب فشار پرس میتوان گفت با افزایش فشار، دانسیته به یک اپتیمم می رسد.
- وجود فازهای مزاحم مانند فاز پلی تیتانات با جلوگیری از انجام فرآیند زینترینگ موجب کاهش خواص

الکتریکی می شود. این فاز غنی از تیتانیم است و علت اصلی تشکیل آن عدم توزیع مناسب Ti و غیر همگنی پودر است.

- با توجه به نتایج و بحث شیمی عیوب نتیجه گیری شد که احتمالاً در مرز دانه، عنصر سریم به جای باریم نشسته است (تشکیل جای خالی باریم) و این منطقه از باریم فقیر شده است.
- مقاومت ویژه دمای محیط نمونه ها با افزایش میزان ناخالصی تقویت کننده در مقادیر کم ناخالصی تقویت کننده سریم کاهش یافته و به یک مینیمم می رسد. با افزایش بیشتر سریم، مقاومت دوباره افزایش می یابد.

تشکر و قدردانی

بدین وسیله از حمایتهای قطب علمی فرآیندهای نوین ساخت و شکل دهی مواد دانشکده مهندسی و علم مواد دانشگاه صنعتی شریف و کلیه کسانی که در انجام این پروژه مرا یاری نمودند کمال تشکر و قدردانی را دارم.

منابع و مراجع

1. W. Heywang "Resistivity Anomaly in Doped Barium titanate" J. American Ceram. Soc, 47[10], 484-490, 1965.
2. J. Daniels, K.H. Hardtle & R. wernike "The PTC Effect of Barium titanate", Philips, Technical Research report. 38, 73-82-1978.
3. A. Aldob and B. vernonl "Grain Boundary oxidation in PTCR Barium titanate thermistors" J. Am. Ceram. Soc. 76[2], 401-408. 1993.
4. B. Huyvrechts, k. Oshizaki and M. Takata, "The positive temperature coefficient of Resistivity in Barium Titanate". J. mater. Sc, 30, 2463, 2474, 1995.
5. A.J. Moulson & S. Herbert. "Electro ceramic materials. Properties, application", Chapman Hall, 1990.
6. A. Amin, "Piezoresistivity in semiconducting positive Temperature Coefficient ceramics'. Am. Cerm. Soc, 72[3] 364-376, 1984.
7. G. H. Jonker, "Equilibrium Barriers in PTC thermistors", Grain Boundary phenomena in Electronic ceramic, 1, 155-166-1981.
8. J. G . Fagan and V. R . W. Amorakon , Bullet . Am. Ceram . ,SoC. 72 [2] 69 (1993)
9. B.M. Kulwicki , Grain boundery Phenomena in Electronic Ceramics , Adv. Ceram. , 1 , 138 (1981)
10. Z.Ali nemati, Grain boundery and dopany segregation in PTCR CEramics Unpublished works, Sharif University of Technology, 2000-2005
11. Y. Gomez , C. Benitez and R.H. Balmori – Ramirez "mechanical activation of the synthesis reaction of $BaTiO_3$ from a mixture of $BaCO_3$ and TiO_2 powders" Ceramic International , vol. 26(3) , 271 (2000)
12. Z. Ali Nemati, M. Tabib –Azar and M.R. DeGuire, Brit. Ceram., Trans., 92 (3) –109 (1993)
13. K. Hayashi, T. Yamamoto and T. Sakuma, J. Am. Ceram. Soc. 79, 1669 (1996).
14. M. Kuwabara, K. I. Morimo and T. Matsunaga, J. Am. Ceram. Soc. 79, 997 (1996).
15. A.G. Belous, O.I. V'yunov and V.V. Kovlyayev, Effect of the dopants SiO_2 and Si_3N_4 on the phase composition and electrophysical properties of semiconducting $BaTiO_3$. Ukr. Khim. Zhurn. 62 (1996), pp. 75–78.
16. G. H. Jonker, "Equilibrium Barriers in PTC thermistors", Grain Boundary phenomena in Electronic ceramic, 1, 155-166-1981.
17. J. Qi, Z. Gui, Y. Wang, Q. Zhu, Y. Wu and L. Li "The PTCR effect in $BaTiO_3$ ceramics modified by donor dopant", Ceramics International,28 (2002) 141–143
18. M. Kuwabara, K. Morimo and T. Matsvnama, "Single-Grain Boundaries in PTC resistors", J. Am. Ceram. Soc, 79[4] 997-1001 (1996)
19. P. Supancic" Mechanical stability of $BaTiO_3$ -based PTC thermistor components: experimental investigation and theoretical modeling",Journal of the European Ceramic Society 20 (2000) 2009±2024
20. S. Chatterjeea, B. D. Stojanovic and H. S. Maitib "Effect of additives and powder preparation techniques on PTCR properties of barium titanate", Materials Chemistry and Physics,Volume 78, Issue 3, 28 February 2003, Pages 702-710.
21. M.H Lin and H.Y Lu "Densification retardation in the sintering of La_2O_3 doped barium titanate ceramic" Materials Science and Engineering A323 (2002) 167–176.



بررسی و ساخت بتن های دیرگداز کم سیمان پایه آندالوزیت ملایر

علیرضا سوری^۱، بهزاد میرهادی^۲، مریم عزیزی^۳

^۱دانشگاه بولوی سینا همدان، دانشگاه ملایر، ^{۲۳}دانشگاه علم و صنعت ایران

arsouri@gmail.com

چکیده: آندالوزیت یک مینرال طبیعی آلومینوسیلیکاتی (Al_2SiO_5) است. ماده اولیه آندالوزیت شامل مقادیر اندکی مواد گذارآور (MgO , CaO , K_2O , Na_2O) می باشد و پس از پخت تا 1200°C باشون هیچ تغییری در دانسته و شکل باقی می ماند. آندالوزیت در دمای بالا (بیش از 1300°C) به علت فرازند مولایی شدن مینرالی فعال می گردد.

در این پژوهش یک بتن دیرگداز کم سیمان (LCC) مرجع خارجی و یک بتن دیرگداز کم سیمان آندالوزیتی ملایر به منظور مقایسه خواص فیزیکی، مکانیکی و ... طراحی و مورد بررسی قرار گرفتند. تمرکز و پیشره بر خواصی همچون کارپذیری، دانسته کلی، تخلخل ظاهری، تغییرات طولی پایدار، استحکام مکانیکی و بررسی ساختاری بوده است.

۱- مقدمه

آنالوزیت بهمراه کیانیت و سیلیمانیت، بخشی از گروه آلومینا سیلیکای مینرال های صنعتی سیلیمانیت را تشکیل می دهد [۱].

آنالوزیت بصورت تئوری دارای $62/9 \text{ Al}_2\text{O}_3$ و $37/1 \text{ SiO}_2$ است و دارای سختی $7/5$ موهس و وزن مخصوص حدود 15 g/cm^3 می باشد.

۱-۱- علل کاربرد آندالوزیت در بتن های دیرگداز

۱- خلوص بالا

بخاطر مقادیر کم گذارآورها (Na_2O , TiO_2 , Fe_2O_3 , K_2O , CaO , MgO) در آندالوزیت مقدار کمی فاز شیشه ایجاد می شود که در نتیجه باعث بهتر شدن خواص شوک پذیری حرارتی، دیرگدازی تحت بار(RUL) [۲] مقاومت خرشی (خیلی بیشتر از دیرگدازهای بوکسیتی Al_2O_3 ٪ ۸۵-۹۰) و مقاومت در برابر CO به دلیل میزان پایین آهن و نحوه توزیع خاص آن می گردد.

۲- پایداری حجمی مناسب

عمل تبدیل به مولایت در آندالوزیت در حین کاربرد انجام می شود و بنابراین محصولات شامل آندالوزیت در دمای بالا افزایش حجمی در نتیجه مولایتی شدن نشان می دهنده، که می تواند باعث خنثی شدن انقباض حاصل از زیتر گردد و همچنین موجب پر کردن درزهای میان آجرها و بسته شدن ترک های موجود در بتن ها گردد و مقاومت مناسبی را در برابر سرباره فراهم سازد. این انسباط برگشت پذیر نیست چرا که با یک تغییر در ساختار کریستالی ایجاد می شود.

۳- تخلخل کم

تخلخل کم دیرگداز باعث نفوذ بسیار اندک سرباره و مذاب فلز به درون آن می شود و در نتیجه چرخه فرسایش دیرگداز را کاهش می دهد. تخلخل پائین در این دسته از محصولات هم از ساختار کریستالی دانه های آندالوزیت و هم از زمینه فاز شیشه که با شبکه ای از مولایت ثانویه محکم نگه داشته شده اند، سرچشم می گیرد. در حقیقت تخلخل کم در اثر فاز شیشه یا ناخالصی های ذوب شده و یا مایع یوتکتیکی





مانند آجرهای آلومینو سیلیکاتی یا آلومینایی نیست، بلکه در اثر تبدیل دانه های آندالوزیت به کریستال های مولایت می باشد، بنابراین، محصولات آندالوزیت مقاومت بالاتری نسبت به دیگر محصولات آلومینایی در برابر حملات شیمیایی نشان می دهند.

۴- سهولت تبدیل به مولایت

در طی فرایند مولایتی شدن، هر دانه آندالوزیت به کامپوزیت کریستال های مولایت و یک شبکه کاپیلاری (موئین) که با شیشه غنی از سیلیس پر شده اند تبدیل می شود. کریستال های مولایت ساختاری ایجاد می کند که به نظر می رسد ساختار مونولیتیکی (یکپارچه) حاصل شده است.

بر اساس مطالعات انجام شده انواع مولایت در بتون های آندالوزیتی از طریق زیر حاصل می شود:

- مقداری مولایت اولیه حاصل از استحاله آندالوزیت

مقداری مولایت ثانویه حاصل از واکنش سیلیس خارج شده از دانه های آندالوزیت استحاله یافته با آلومیناهای موجود در بتون

- مقداری مولایت ثالثیه از سایر منابع سیلیس مانند میکروسیلیس و ناخالصی ها [۴].

۲- روش پژوهش

مهم ترین اجزاء سازنده بتون های دیرگذار مورد بررسی اگریگیت ها شامل آندالوزیت ملایر (ASACO) و آندالوزیت تجاری خارجی (Damrec)، سیمان آلومینات کلسینیم (سکار ۷۱ لافارز) و اجزاء پرکننده شامل میکروسیلیس (فروآلیاژ ایران)، آلومینای راکتیو و آلومینای کلسینه (Alcan) بودند. از Castament FS20 ۵] [به عنوان روانساز استفاده شد (Degussa). آنالیز شیمیایی مواد اولیه مصرفی در جدول ۱ آمده است.

جدول ۱- آنالیز شیمیایی مواد اولیه بتون های دیرگذار آندالوزیتی کم سیمان

میکروسیلیس	سکار	سیمان سکار ۷۱	آلومینای کلسینه	راکتیو آلومینا	آندالوزیت ملایر <1mm	آندالوزیت ملایر >1mm	آندالوزیت Damrec	آنالیز شیمیایی، %
۹۳/۵	<.۰۶	<.۰۱	.۰۴	۴۵/۰	۴۰-۴۱	۳۸/۳	SiO ₂	
۱/۳	>۶۹	۹۹/۵	۹۹/۸	۴۷/۵	۵۷	۶۰/۹	Al ₂ O ₃	
.۰۵	<۳۰	.۰۰۵	.۰۰۳	.۰۶	.۰۱۲	.۰۰۵	CaO	
۱/۸	<.۰۳	<.۰۱	.۰۰۲	.۰۹	.۰۷	.۰۴۶	Fe ₂ O _۳	
.۰۹	<.۰۵	.۰۰۵	-	.۰۳	.۰۲۲	.۰۰۵	MgO	
.۰۳۱	<.۰۵	.۰۱۴	.۰۰۶	۲/۳		.۰۱۸	Na ₂ O	
۱/۰			-				K ₂ O	

۱-۲- ترکیب بتون ها

از توزیع دانه بندی مدل Dinger-Funck با مقدار $n=0.21$ برای طراحی فرمولاسیون بتون ها استفاده شد. فرمولاسیون پایه بتون های دیرگذار کم سیمان آندالوزیتی مورد مطالعه در جدول ۲ آمده است.

جدول ۲- فرمولاسیون بتون های ساخته شده

ماده	اگریگیت (۰-۵mm)	آلومینای کلسینه	راکتیوآلومینا	میکروسیلیس	سیمان	آب	روانساز
ملایر	۸۰	۵	۵	۵	۴/۶	۴/۶	۰/۱۲
خارجی	۸۰	۵	۵	۵	۵	۵	۰/۱۲

۲-۲-آماده سازی بتن ها

مواد اولیه طبق فرمولاسیون جدول ۲ با دقت $1/0.0$ گرم توزین شده و ابتدا به مدت ۴ دقیقه بصورت خشک با سرعت پائین و سپس با افزودن آب و روانساز به مدت ۴ دقیقه به صورت تر با سرعت بالا در یک مخلوط کن هوبارت ۵ لیتری (Hobart Mixer) مخلوط شدند.

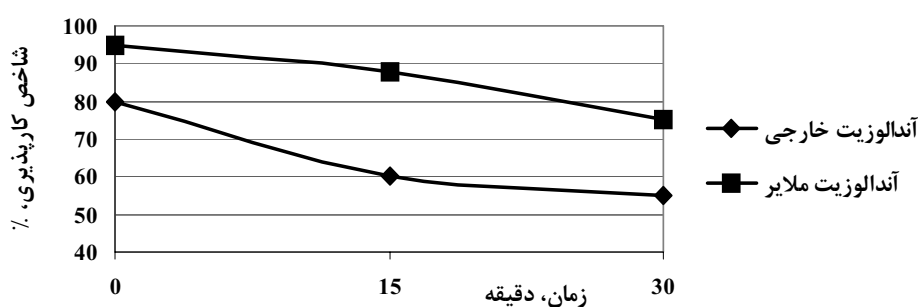
۲-۳-عمل آوری بتن ها

پس از اندازه گیری شاخص کارپذیری (Flow)، منشورهایی سه تایی از بتن ها به ابعاد $40 \times 40 \times 160\text{ mm}$ در دمای محیط ($22-28^\circ\text{C}$) و رطوبت نسبی $60-65\%$ درصد تهیه گردید. برای متراکم کردن نمونه بتن ها از میز ویبره استفاده شد. قالب حاوی منشورها در رطوبت نسبی بالای 95% درصد به مدت ۲۴ ساعت جهت عمل آوری قرار داده شدند. سپس منشورها از قالب ها خارج شده و به مدت ۲۴ ساعت در خشک کن در دمای 110°C خشک شدند. نمونه ها در دماهای 100°C ، 120°C و 145°C درجه سانتی گراد پخته شدند و با سرعت 30°C بر ساعت به دمای مورد نظر رسیده و سپس به مدت ۳ ساعت در آن دما پخت شده، آنگاه به آرامی در کوره سرد شدند. آزمایشات مورد نیاز مطابق با استاندارد ۶ EN 1402-6 روی نمونه ها انجام شد.

۳-نتایج و بحث

۳-۱-شاخص کارپذیری

یکی از خواص مهم بتن های دیرگذار، ویژگی سیالیت و جریان یا بی آنهاست. اندازه گیری رئولوژی جزء پیوسته ای از تحقیقات پیرامون بتن ها می باشد و تعیین خواص رئولوژیکی جهت رفتار نصب و ثبت تعییرات آن با زمان حائز اهمیت است، به این معنی که هر چه بتن مصرفی دارای کارپذیری بیشتری باشد و این مقدار را در طول زمان نصب حفظ کند مخلوط نیازی به افزایش آب در حین نصب نخواهد داشت. در شکل ۱ منحنی شاخص کارپذیری نسبت به زمان برای بتن های آندالوزیتی ملایر و خارجی نشان داده شده است.



شکل ۱ - مقادیر شاخص کارپذیری نسبت به زمان برای بتن های آندالوزیتی ملایر و خارجی

بطورکلی شاخص کارپذیری به پارامترهای بسیاری از جمله توزیع اگریگیت، نوع و میزان پودرهای خیلی ریز، افزودنی ها و دمای محیط بستگی دارد.

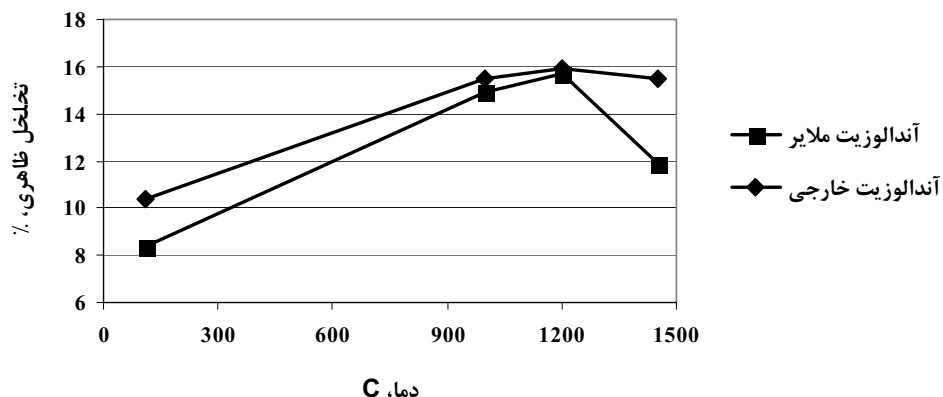
با توجه به شکل ۱ در زمان 30 دقیقه افت قابل توجهی در شاخص کارپذیری برای هر دو بتن مشاهده می شود که این موضوع مربوط به گیرش و هیدراتاسیون سیمان می باشد. هر دو بتن تا زمان 30 دقیقه دارای حد مطلوبی از لحاظ شاخص کارپذیری می باشند. مقادیر بالاتر شاخص کارپذیری بتن آندالوزیتی ملایر تصور می شود با خاطر توزیع اندازه ذرات ریزترین جزء اگریگیت آندالوزیت ملایر به سمت صفر باشد.

۲-۳-دانسیته و تخلخل

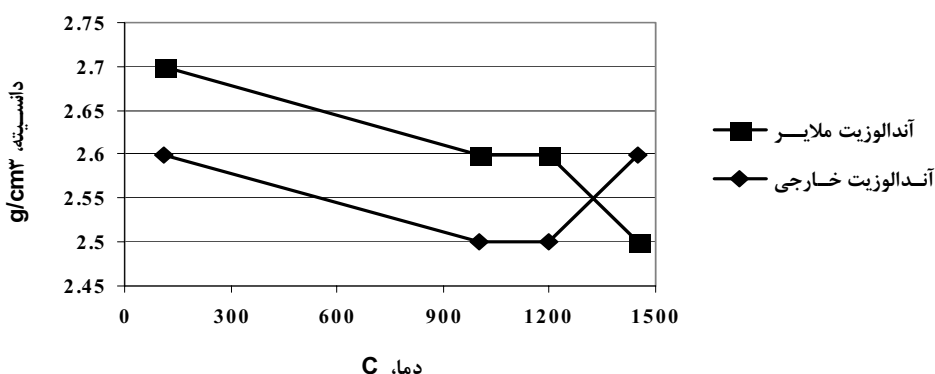
دانسیته کلی و تخلخل ظاهری با میزان آب مورد نیاز و شاخص کارپذیری ارتباط تنگاتنگی دارند. دانسیته کلی حاوی اطلاعاتی پیرامون فشردگی و تراکم بتون می باشد. درحالی که تخلخل ظاهری اطلاعاتی پیرامون مقاومت در مقابل خودگی می دهد.

قسمتی از آبی که به بتون افزوده می شود بوسیله تخلخل ذرات دیرگذار جذب می شود و در اتصال هیدرولیک شرکت ندارد و قسمتی دیگر با سیمان واکنش می دهد و اتصال هیدرولیک را ایجاد می کند. باقی مانده آب به شکل گیری و تراکم بتون کمک می کند.

در شکل های ۲ و ۳ تخلخل ظاهری و دانسیته کلی به صورت تابعی از دما برای بتون های مورد بحث نشان داده شده است.



شکل ۲- تخلخل ظاهری به صورت تابعی از دما برای بتون های دیرگذار ملایر و خارجی



شکل ۳- دانسیته کلی به صورت تابعی از دما برای بتون های دیرگذار آندالوزیتی ملایر و خارجی

با توجه به شکل ۲ مشاهده می شود که تخلخل ظاهری هر دو نمونه تا دمای نزدیک به 1000°C به دلیل خروج آب های پیوندی افزایش می یابد. در دماهای بالاتر مقدار تخلخل برای نمونه بتون خارجی تقریباً یکسان است ولی در دمای 1450°C برای نمونه بتون ملایر تخلخل کاهش می یابد که به نظر می رسد بخاطر وجود ناخالصی های گذآور در آندالوزیت ملایر و ایجاد فاز شیشه و بستن تخلخل باز باشد. در شکل ۳ مشاهده می گردد که مقدار دانسیته کلی نسبت به دما در دماهای 1000°C و 1200°C برای نمونه خارجی تقریباً ثابت و در 1450°C افزایش می یابد. ولی برای آندالوزیت ملایر در دمای 1450°C علی رغم کاهش تخلخل، دانسیته هم افت پیدا می کند که ممکن است ناشی از حضور فاز شیشه و وزن مخصوص کمتر آن نسبت به اگریگیت و افزایش حجم نمونه ها بر اثر ایجاد ترک باشد.

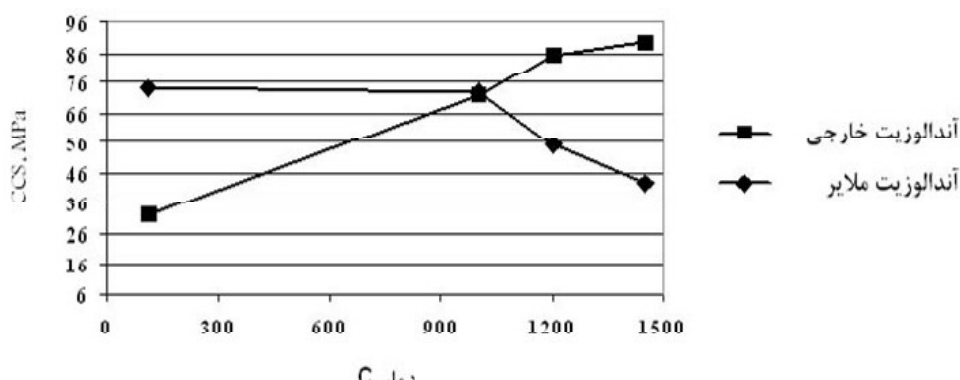




۳-۳- مقاومت مکانیکی سرد

برخی از عوامل مؤثر بر مقاومت مکانیکی بتن ها عبارتند از: فاز اتصال، درصد آب مصرفي، توزيع دانه بندی و نحوه تهیه نمونه ها. هرچه دانسيته بالاتر باشد استحکام بالاتر است و دانسيته خود تابعی از درصد آب افزوده شده و توزيع دانه بندی می باشد. هرچه مقدار آب زيادتر باشد تخلخل بيشتر و حفرات موجود در نمونه از لحظه اندازه و مقدار بيشتر می باشد و سبب افت استحکام می گردد.

استحکام فشاری سرد در دماهای مختلف برای بتن های مذکور در شکل ۴ نمایش داده شده است.

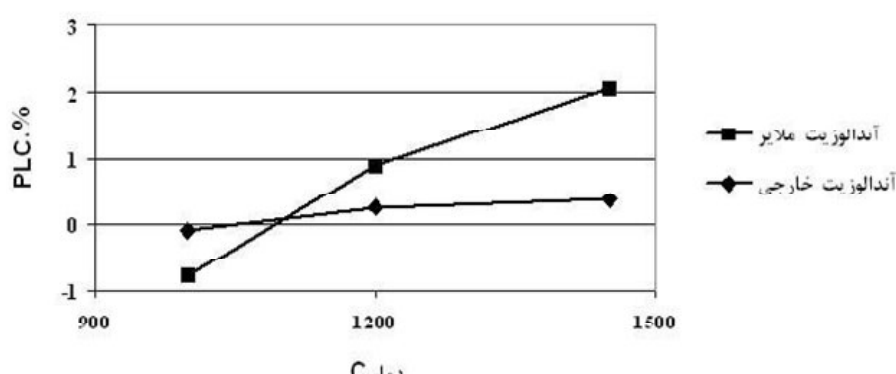


شکل ۴- استحکام فشاری سرد (CCS) به صورت تابعی از دما برای بتن های دیرگذار ملایر و خارجی

با توجه به شکل ۴ ملاحظه می گردد در نمونه بتن خارجی شبیه آنچه که در بتن های دیرگذار کم سیمان (LCC) دیده می شود با افزایش دما استحکام مکانیکی افزایش می یابد و افزایش استحکام فشاری در دماهای بالای 1200°C ناشی از تشکیل مولایت در این بدنه می باشد. در نمونه بتن آندالوزیت ملایر در دماهای بالا 1200° و 1450° درجه سانتی گراد استحکام فشاری کاهش می یابد که در اثر ناخالصی های فراوری و ناشی از گذار آورهای (اکسید های قلیایی) زیاد در ذرات ریز دانه (جدول ۱) آن است که سبب تشکیل فاز شبیه ای زیاد و پس از سرد شدن بتن باعث ایجاد ترک در ساختار آن می گردد و تشکیل مولایت روی استحکام فشاری بی اثر می شود.

۳-۴- تغییرات طولی پایدار (PLC)

تغییرات طولی خطی پایدار به دمای پخت، به نوع اگریگیت ها و بویژه به واکنش میان اگریگیت های زیر $0/2 \text{ mm}$ با باقی مانده فاز اتصال بستگی دارد. در شکل ۵ تغییرات طولی خطی پایدار نسبت به دما برای نمونه بتن های دیرگذار آندالوزیتی ملایر و خارجی نشان داده شده است.



شکل ۵- تغییرات طولی پایدار به صورت تابعی از دما برای بتن های دیرگذار ملایر و خارجی

همانطور که در شکل ملاحظه می‌گردد در بتون آندالوزیتی خارجی روند تغییرات طولی پایدار نسبت به دما یکنواخت است و انبساط ناشی از مولایتی شدن، انقباض حاصل از زینترینگ زمینه را جبران کرده است. در بتون آندالوزیت ملایر با بالا رفتن دما انبساط نمونه شدیداً افزایش یافته است که در اثر تشکیل فاز شیشه زیاد و باد کردگی موضعی ناشی از ناخالصی‌های فراوری آندالوزیت ملایر است. این انبساط شدید منجر به ظهور ترک‌های زیادی در ساختار دیرگذار شده است که در شکل ۶ مشاهده می‌شود.



شکل ۶- بتون دیرگذار کم سیمان پایه آندالوزیت ملایر پخته شده در دمای 1450°C ، در این تصویر ترک‌های موجود در نمونه به وضوح قابل مشاهده می‌باشد

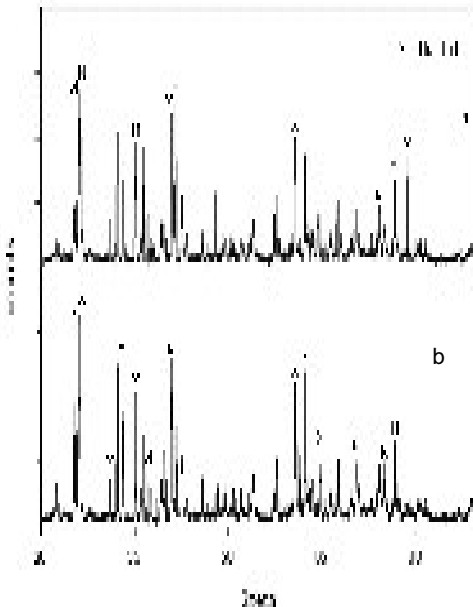
۳-۵- بررسی‌های ساختاری

اندازه گیری‌های استحکام مکانیکی، دانسیته و تخلخل تا حدودی می‌تواند تداعی کننده رفتار بتون‌های دیرگذار در دمای بالا باشد. لیکن اطلاعات خیلی دقیقی نمی‌دهد تا بتون خواص مشاهده شده را تفسیر کرد. برای تعیین فازهای کریستالی بتون‌های دیرگذار کار حاضر از پراش اشعه X (XRD) استفاده شد. نمونه‌های برگزیده برای این بررسی از قطعات شکسته شده آزمایش CCS پخته شده در دمای 1450°C بمدت ۳ ساعت بودند.

الگوی پراش اشعه X برای نمونه بتون دیرگذار کم سیمان آندالوزیت ملایر و نمونه خارجی در شکل ۷ نشان داده شده است.

با مقایسه کمی این دو الگویی توان دریافت مقدار مولایت تشکیل شده در نمونه بتون آندالوزیت خارجی احتمالاً بیشتر از آندالوزیت ملایر می‌باشد، که استحکام بالای این بتون را در دماهای بالا توجیه می‌کند. همچنین با توجه به الگوی پراش اشعه X دو نوع بتون مشاهده می‌گردد که زمینه الگوی بتون دیرگذار آندالوزیت ملایر بالاتر از نمونه خارجی است. این مسئله می‌تواند نشان دهنده حضور مقدار فاز آمورف بالاتر در بتون دیرگذار آندالوزیت ملایر باشد. میزان فاز آمورف ناشی از درصد بالای اکسید‌های قلیایی در فرآکسیون ریز دانه (جدول ۱) آندالوزیت ملایر است و وجود این ناخالصی‌ها باعث افت خواص آندالوزیت ملایر شده است.





شکل ۷- الگوی پراش اشعه X برای نمونه بتن دیرگذار کم سیمان آندالوزیت ملایر و نمونه خارجی (a) نمونه بتن دیرگذار آندالوزیت ملایر (b) نمونه خارجی

۴- نتیجه گیری

- آنالیز شیمیایی فراکسیون ریز دانه آندالوزیت ملایر نشان دهنده حضور بالای اکسیدهای قلیایی گذاشته می باشد که حاکی از فرآوری نامناسب ذرات ریز دانه این آندالوزیت است.
- هر دو بتن دیرگذار دارای شاخص کارپذیری قابل قبولی هستند اما بتن آندالوزیتی ملایر دارای شاخص کارپذیری بالاتری است.
- استحکام فشاری سرد بتن آندالوزیتی ملایر با افزایش دما کاهش یافته در حالی که این پارامتر در مورد بتن آندالوزیتی خارجی روند افزایشی دارد.
- روند تغییر طول خطی پایدار نسبت به دما در بتن آندالوزیتی خارجی یکنواخت است ولی در بتن آندالوزیتی ملایر با بالا رفتن دما انبساط نمونه ها شدیدا افزایش یافته است.
- مقدار مولايت تشکيل شده در بتن آندالوزیت خارجی بيشتر از آندالوزیت ملایر می باشد.
- با جايگزيني اگريگيت ریز دانه آندالوزیت ملایر با آندالوزیت خارجی امكان اصلاح و بهبود خواص بتن دیرگذار کم سیمان آندالوزیتی ملایر وجود دارد.

مراجع

1. L. Rebouillet, M. Rigaud, "Andalusite- based high alumina castable", Journal of AGRS, Sept.4, 2001.
2. P. Hubert, "Relation between microstructure and refractory properties in andalusite based low cement castables", Ceramics xx 2003, Polish Ceramic Bulletin.
3. H. S. Kang, "Development of self flowing castable", Unitcer 95.
4. H. B. Ramirez, E.T. Torres, "Decomposition and sintering of attrition- milled andalusite" Advances in Refractories for the Metallurgical Industries III, MET SOC.
5. G.Routschka " New plasticizer for ultra low cement andalusite and bauxite refractory castables", Interceram, vol 49,No5, 2000.

مطالعه و بررسی نمونه‌های فرسایش یافته سنگ مرمر بنای تاریخی مدرسه چهار باغ اصفهان

محمد حسن صرافی^۱، امیرعلی یوزباشی^۲ و اسماعیل صلاحی^۱

^۱پژوهشکده سرامیک - پژوهشگاه مواد و انرژی

^۲پژوهشکده نیمه هادی‌ها - پژوهشگاه مواد و انرژی

m-sarrafi@merc.ac.ir

چکیده: با توجه به نقش بنایهای تاریخی که یادگار با ارزش فرهنگ‌ستی و تاریخی هر جامعه‌ای می‌باشند، مراقبت و نگهداری از آن‌ها بسیار ضروری است. مشاهده بنایهای تاریخی، فرسایش سریع آن‌ها را نشان می‌دهد و چنانچه به طور جدی برای این مشکل، راه حلی پیدا نشود، در آینده‌ای نزدیک، خسارات مادی و معنوی جبران ناپذیری بهار خواهد آمد. در کشور ایران، از جمله بنایهای تاریخی که سنگ‌های مرمر به کار رفته در ساخت آن در سالیان داراء، دستخوش فرسایش شده‌اند، مدرسه چهار باغ اصفهان می‌باشد. به همین منظور، فرسایش سنگ‌های مرمر در این بنای تاریخی با استفاده از روش‌های آنالیز دستگاهی، مثل میکروسکوپ نوری (OM)، میکروسکوپ الکترونی رویشی (SEM) به همراه آنالیز EDX طیف سنجی فلورسانس پرتو ایکس (XRF)، پراش پرتو ایکس (XRD) و پلاسمای جفت شده القایی (ICP) مطالعه شد. نتایج نشان داد که دو عامل در فرسایش سنگ‌های مرمر اثر گذارند. یکی نفوذ رطوبت به درون بافت سنگ و پدید آمدن فرایند اتحال و تبلور دوباره که در اثر تغییر دما پدید می‌آید و باعث یوکی و عدم پیوستگی بافت سنگ می‌شود و عامل دیگر، وجود محلول‌های اسیدی ناشی از آلوودگی گازهای اسیدی که به باران‌های اسیدی موسومند که در اثر تماس آن‌ها با سطح سنگ، سبب اتحال سطحی و تغییر ساختار و فرسایش می‌شوند. آنالیز عنصری نمونه‌ها به همراه آنالیز فازی آن‌ها نشان داد که علاوه بر ترکیب اصلی سنگ یعنی کربنات کلسیمی، ترکیبات جانبی دیگری چون سولفات کلسیمی، هیدروکسید آهن و در مواردی کلرید سدیم نیز در ریزساختار وجود دارند.

واژه‌های کلیدی: فرسایش شیمیایی، سنگ مرمر، بنای تاریخی، مدرسه چهار باغ اصفهان

۱- مقدمه

یکی از اصول مهم در حفظ و نگهداری آثار هنری و تاریخی، شناخت عوامل مختلفی است که باعث فرسایش و تخریب آن‌ها می‌شوند. با تحقیقاتی که تاکنون به عمل آمده، فرسایش مواد به کار رفته در آثار هنری، اعم از فلزی و یا غیر فلزی، به دلیل وجود عوامل محیطی و جوی است. در میان مواد غیر فلزی که از دیرباز برای خلق آثار تاریخی به کار رفته‌اند، می‌توان به انواع سنگ‌ها که از آن جمله سنگ‌های مرمر می‌باشند اشاره کرد. این نوع سنگ به خاطر زیبایی رنگ و نقش طبیعی، مورد توجه بسیاری از ملت‌های جهان قرار داشته و در کشور ما نیز در بسیاری از بنایهای معروف تاریخی در طرح‌های متنوع به کار رفته است. با تحقیقاتی که تاکنون توسط محققان کشورهای مختلف صورت گرفته، عامل اصلی فرسایش سنگ‌های مرمر، به طور عمدۀ گازهای مختلف، مانند دی‌اکسید سولفور، سولفور هیدروژن، دی‌اکسید کربن، کلر و غیره و نیز ذرات معلق ناشی از فعالیت صنعتی و سایر آلاینده‌های محیطی می‌باشد. واکنش این گازها و ذرات، با مولکول‌های آب موجود در محیط، سبب تشکیل ترکیبات اسیدی می‌شود. با ریزش این محلول‌ها به صورت باران‌های اسیدی و تماس با سنگ‌های مرمر، واکنش‌های سطحی، موجب فرسایش و خوردگی سنگ خواهد شد [۱ و ۲]. در مورد تاثیر باران‌های اسیدی، یکی از محققان ایتالیایی به نام F.Guidobaldi [۳] در



یک کار پژوهشی شبیه‌سازی دستگاهی^۱، شرایطی را برای بررسی ارتباط بین درجه اسیدی باران مصنوعی و شدت خوردگی در سنگ مرمر انجام داده است. در این آزمایش‌ها مشخص شد که بین درجه خوردگی سنگ مرمر و عواملی مانند pH، ترکیب شیمیایی باران، ترکیب شیمیایی سنگ و همچنین صافی و زبری سطح سنگ مرمر، رابطه مستقیم وجود دارد. علاوه بر تاثیر باران‌های اسیدی، درجه رطوبت موجود و نوسانات دمای حاکم بر محیط، وضعیت ساختاری سنگ از نظر چگالی بالک^۲، میزان تخلخل^۳، ضربی اشباع‌پذیری^۴ و برخی از عوامل دیگر می‌توانند در تخریب سنگ مرمر نقش موثری بازی کنند^[۴]. در کشور ایران، از جمله بنای‌های تاریخی که سنگ مرمر به کار رفته در آن در سالیان دراز، دستخوش فرسایش شده‌اند، مدرسه چهار باغ اصفهان می‌باشد. به همین منظور، فرسایش سنگ مرمر به کار رفته در این بنای تاریخی به کمک روش‌های آنالیز دستگاهی مورد مطالعه و بررسی قرار گرفت.

۲- فعالیت‌های تجربی

برای مطالعه و بررسی فرسایش سنگ‌های مرمر مدرسه چهار باغ اصفهان، مراحل عملی و آزمایشگاهی به شرح زیر اجرا شدند:

(الف) نمونه برداری از سنگ‌های مرمر از مکان‌های فرسایش یافته و آماده‌سازی آن‌ها متناسب با نوع روش آنالیز

(ب) مطالعه نمونه‌ها با میکروسکوپ نوری(OM) مدل Nchet-France-Stero

(پ) اندازه‌گیری سختی بهروش ویکرز و با استفاده از دستگاه سختی سنج مدل Akashi-MUK-H21

(ت) مطالعه ترکیبی و ریزساختاری نمونه‌ها توسط میکروسکوپ الکترونی رویشی (SEM) مجهرز به سیستم آنالیز EDX مدل Cambridge Stereo Scan 360

(ث) بررسی فازی و ترکیبی توسط دستگاه پراش پرتو ایکس Philips 3710 XRD و طیف سنجی فلورسانس پرتو ایکس XRF مدل ARL Sequential 8410 ARL و پلاسمای جفت شده القایی ICP مدل ARL Minitorch 3410

۳- نتایج و بحث

۳-۱- وضعیت ظاهری سنگ‌های مرمر

رنگ ظاهری سنگ‌های مرمر مطالعه شده، صورتی تا قهوه‌ای روشن و مایل به زرد است که در آن‌ها نقش‌های مشجر و یا لایه‌های بهم پیوسته، بدون شکل هندسی خاصی به‌چشم می‌خورد. تصاویر این سنگ‌ها که در شکل‌های ۱ و ۲ دیده می‌شود چگونگی عمل فرسایش آن‌ها را به دو صورت زیر محتمل می‌کند:

(الف) هوازدگی سطحی و عمقی به‌دلیل نفوذ رطوبت محیطی در بافت سنگ اولیه (شکل ۱)

(ب) خوردگی سطحی سنگ‌ها، به‌دلیل تاثیر محلول‌های واکنش زای حاصل از باران‌های اسیدی (شکل ۲)

با توجه بیشتر به مکان‌های فرسایش یافته، مشخص می‌شود که در قسمتی از سنگ که بافت اولیه آن دارای

¹. Simulation apparatus

². Bulk density

³. Porosity

⁴. Saturation index

⁵. Energy Dispersive X-Ray

⁶. X-Ray Fluorescence

⁷. Inductively Coupled Plasma

نقوش و رگه‌های نامتجانس‌تر می‌باشد، عملکرد فرسایش با شدت بیشتری پدید آمده است.



شکل ۱- نمایش هوازدگی سطحی و عمقی سنگ مرمر به دلیل نفوذ رطوبت محیطی



شکل ۲- نمایش خوردگی سطحی سنگ مرمر در اثر تاثیر محلول‌های واکنش‌زای موجود در رطوبت محیط

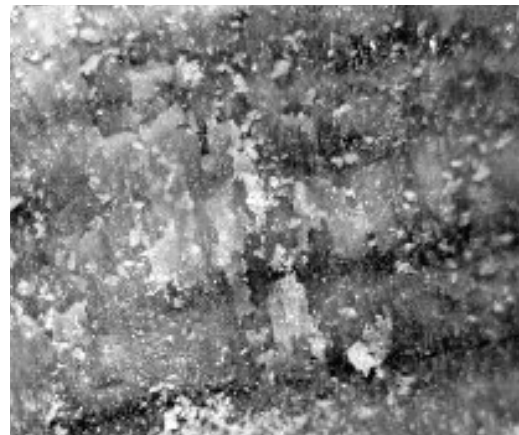
۲-۳- مشاهدات میکروسکوپ نوری

با استفاده از میکروسکوپ نوری، سطح مقطع نمونه‌های بالک سنگ مرمر بررسی شدند. شکل‌های میکروسکوپی ۳ و ۴ نشان می‌دهند که:

(الف) بافت اولیه سنگ‌ها دارای ساختار لایه‌ای و یا دانه شکری مخصوص به خود هستند. لایه‌ها، نشان دهنده نظم و توالی یکنواختی می‌باشند و در اثر جذب رطوبت محیطی و انحلال آهن موجود در بافت سنگ، به رنگ قهوه‌ای تیره تا روشن در آمداند. نفوذ این محلول‌ها از سطح سنگ آغاز شده و به عمق آن‌ها گسترش یافته و موجب پیر شدگی و پوکی آن شده است.

(ب) در اثر نفوذ محلول‌های خورنده اسیدی به بلورهای اولیه کلسیت که بافت دانه شکری و فشرده اولیه سنگ را تشکیل می‌دهند، فرایند Leaching باعث شده تا پیرامون دانه‌ها خالی شود. در بین مرز دانه‌ها، تجمعی از بلورهای ریز و سفید رنگ مشاهده می‌شود که محصول پدیده اتحلال و تبلور دوباره می‌باشد (شکل ۵). عملکرد فرسایش شیمیایی در برخی از نمونه‌ها تا آنجا پیشرفت کرده که سطح سنگ و بافت اولیه به طور کلی دستخوش تغییر شده و توده‌های ریز بلور به رنگ‌های سفید و قهوه‌ای تا زرد روشن، جانشین بلورهای اولیه کلسیت شده‌اند.





شکل ۳- تصویر میکروسکوپ نوری بازتابی از ساختار لایه‌ای سنگ مرمر (بزرگنمایی ۶۴ برابر)



شکل ۴- تصویر میکروسکوپ نوری بازتابی از بافت دانه شکری سنگ مرمر (بزرگنمایی ۶۴ برابر)

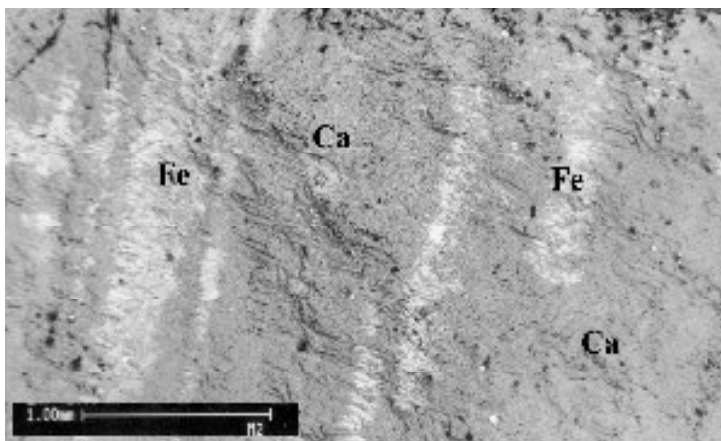


شکل ۵- تصویر میکروسکوپ نوری بازتابی از پدیده انحلال و تجمع بلورهای ریز و سفید رنگ پیرامون بلورهای اولیه کلسیت (بزرگنمایی ۶۴ برابر)

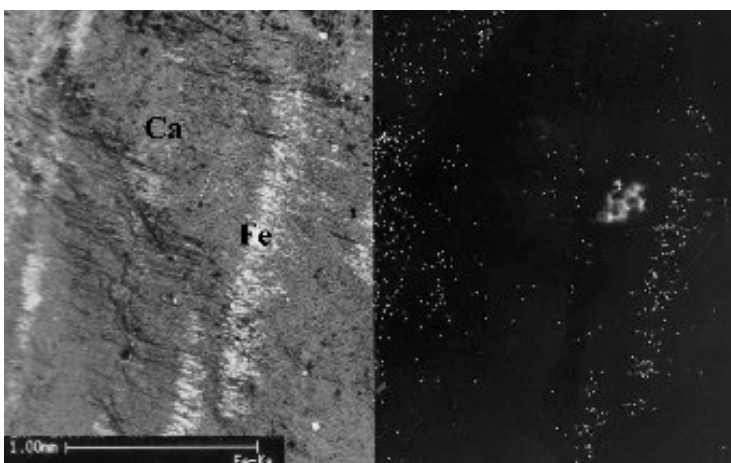
۳- مشاهدات میکروسکوپ الکترونی روبشی (SEM)

از فرایند فرسایش سنگ‌ها، نتایج زیر به کمک SEM و آنالیز سطحی نمونه‌ها به دست آمد:

الف) نخستین تأثیر فرسایش، به دلیل نفوذ رطوبت محیط به درون بافت سنگ می‌باشد. در واقع با مشاهده تصاویر SEM که در شکل‌های ۶ و ۷ دیده می‌شوند می‌توان نتیجه گرفت که در پی انحلال و انتقال عناصر تشکیل دهنده که Ca و Fe جزو اصلی ترین آن‌ها می‌باشند، از طریق درزها و روزنه‌های پدید آمده در سنگ و گسترش آن از سطح به عمق و نیز توالی تبلور و انحلال دوباره، بافت سنگ دچار پوکی و سستی گشته است. از میان ترکیباتی که واضح‌ترین تبلور دوباره را نشان می‌دهند، بلورهای نمک طعام هستند که در سطح مقطع سنگ به خوبی دیده می‌شوند (شکل ۸).



شکل ۶- تصویر SEM از نفوذ و انتقال ترکیبات آهن از سطح سنگ مرمر به عمق آن

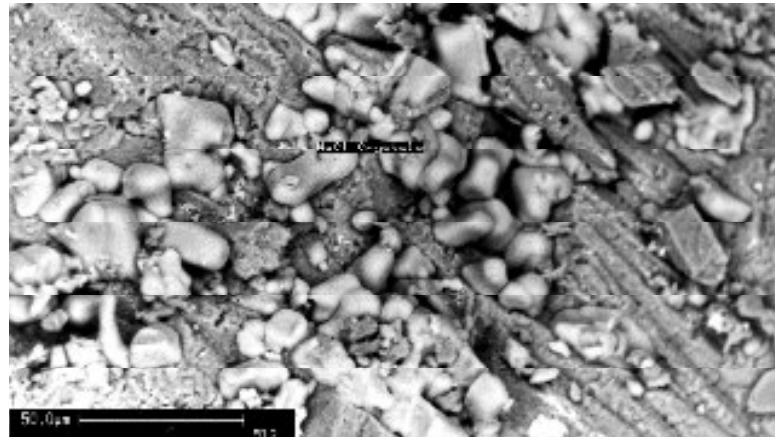


شکل ۷- تصویر SEM از آنالیز نقطه‌ای (Dot Map) شکل ۶

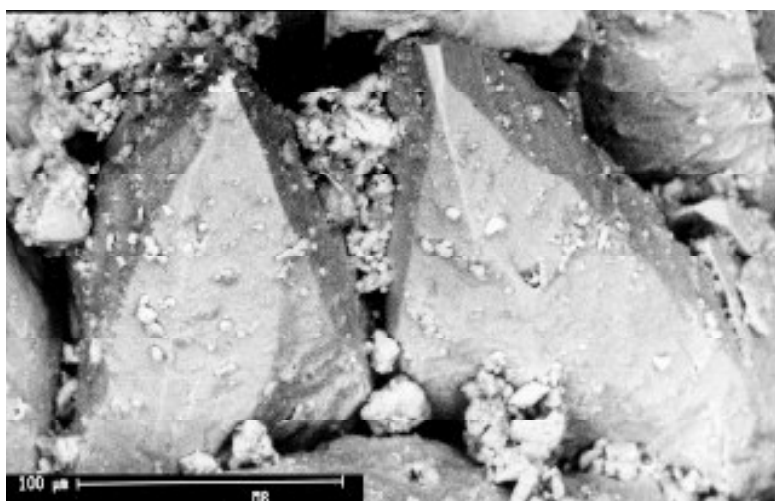
ب) نوع دیگر عملکرد فرسایشی همانطور که در بررسی‌های میکروسکوپ نوری مشخص شد، به طور عمده به دلیل واکنش محلول‌های اسیدی دارای اسید سولفوریک با کربنات کلسیم است. حاصل این واکنش‌ها به صورت تجزیه سنگ و به جا ماندن توده‌های ریز بلور در میان بلورهای درشت کلسیت مشاهده می‌شود که به طور عمده دارای عناصر S و Fe, Ca می‌باشند (شکل ۹).

پ) در بسیاری از نمونه‌ها، در میان ذرات بلورهای ریز به جا مانده از واکنش‌های فرسایشی، دانه‌های ریز و کروی شکل دیده می‌شوند. با مشاهده سطح کروی شکل این اجسام، تعداد زیادی حفره در آن‌ها به چشم می‌خورد که به نظر می‌رسد به دلیل خروج گاز از آن‌ها پدید آمده باشند. قطر متوسط این ذرات حدود ۱۰۰ میکرومتر است و از این نظر در رده آبروسل‌ها قرار می‌گیرند [۵].





شکل ۸- تصویر SEM نشان دهنده پراکندگی بلورهای نمک طعام در سطح سنگ مرمر



شکل ۹- تصویر SEM نشان دهنده تجزیه سنگ اولیه و به جای ماندن تودههای ریز بلور در میان بلورهای درشت کلسیت اولیه

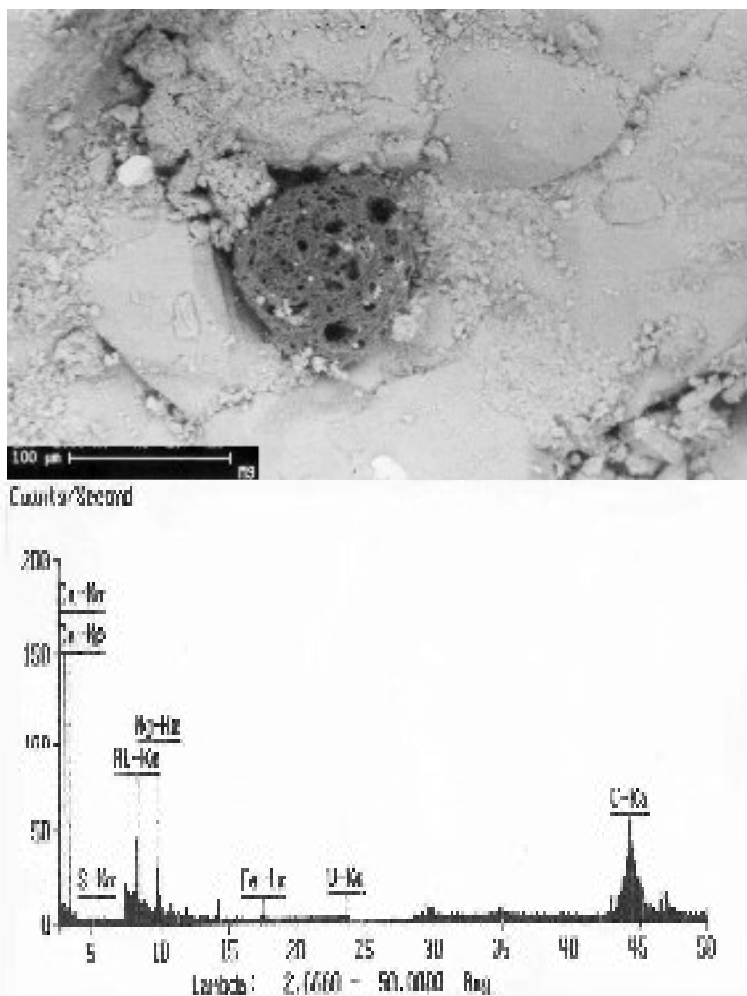
آنالیز سطحی این ذرات توسط دستگاه SEM نشان داد که ترکیب اصلی شامل عناصر C و S و در مقداری ناچیزی Al, Ca, K, Mg, Si, Al می‌باشد (شکل ۱۰). حضور فراوان این ذرات در اغلب نمونه‌ها، این نظریه را تقویت می‌کند که بخشی از علل فرسایش سنگ می‌تواند ناشی از واکنش‌هایی باشد که ترکیب این ذرات در آن دخالت داشته است.

۳-۴- نتایج آنالیزهای کیفی و کمی سنگ مرمر

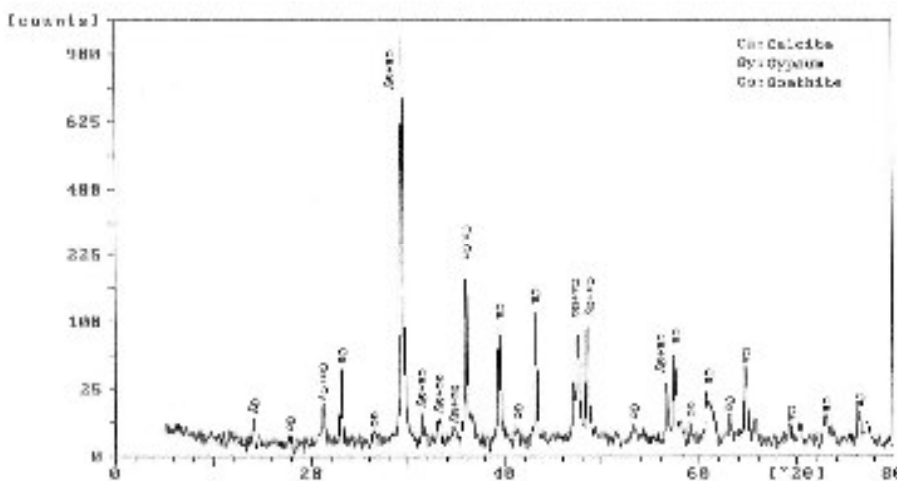
در این قسمت، ابتدا نمونه‌های سنگ مرمر جهت شناسایی فازی کانی‌های موجود، توسط روش پراش پرتو ایکس (XRD) مطالعه شدند. سپس با انجام آنالیز عنصری به صورت نیمه کمی و با استفاده از دستگاه طیف سنجی فلورسانس پرتو ایکس (XRF) و همچنین دستگاه آنالیز EDX، مقداری تقریبی عناصر موجود در نمونه‌ها تعیین شد. در پایان، به کمک دستگاه طیف سنج پلاسمای جفت شده الکایی (ICP) مقداری دقیق عناصر موجود در نمونه‌های سنگ مرمر مشخص شد. بررسی نمونه‌ها توسط پراش پرتو ایکس (XRD) نشان داد که فازهای تشکیل یافته پس از فرسایش، به طور عمده سولفات کلسیم (Gypsum) و هیدروکسیده آهن (Goethite) می‌باشند. در مقداری ناچیزتری نمک طعام (NaCl) نیز در برخی از الگوهای پراش پرتو ایکس



.(شکل های ۱۱ و ۱۲) مشاهده می شود (XRD)



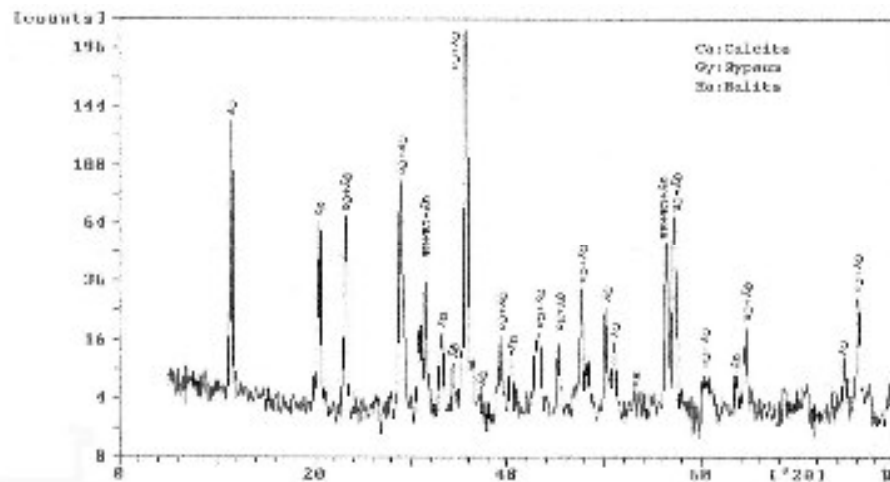
شکل ۱۰- تصویر SEM (بالا) و آنالیز EDX (پایین) از دانه آبروسل موجود در میان بلورهای کلسیت



شکل ۱۱- پراش پرتو ایکس سنتگ‌های فرسایش یافته شامل فازهای کلسیت، سولفات کلسیم (ژیپس) و گوتیت با بررسی‌های آنالیزی XRF و EDX مشخص شد که ترکیب عنصری نمونه‌ها، به ترتیب فراوانی، عناصر



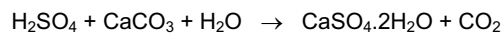
Ca و Fe، S، Mg، Si، Mn، Na، K، Al می‌باشد. شکل ۱۳ نتایج آنالیز کمی را به روش EDX نشان می‌دهد و نتایج به دست آمده از ICP تایید کننده آنالیز عنصری انجام شده بود.



شکل ۱۲ - پراش پرتو ایکس سنگ‌های فرسایش یافته دارای فازهای کلسیت، سولفات کلسیم (ژپس) و هالیت

۳-۵- بررسی فرسایش شیمیایی سنگ مرمر ناشی از انحلال اسیدی

بارش باران اسیدی بر روی این سنگ‌ها موجب انحلال سطحی آن‌ها به دلیل انجام واکنش زیر و تشکیل سولفات کلسیم می‌شود که در نتیجه، فرسایش با سادگی بیشتری صورت می‌گیرد:



بنابراین برای بررسی میزان فرسایش ناشی از باران‌های اسیدی، حدود ۱۰۰ میلی‌گرم از نمونه‌های سنگ مرمر در ۲۵ میلی‌لیتر آب مقطر، در یک بشر قرار داده شد تا میزان انحلال عناصری چون S، Ca و همچنین Fe (با توجه به احتمال تبدیل تدریجی Fe_2O_3 به نمک‌های سولفات آهن) در آب تعیین شود. نمونه‌های سنگ مرمر به مدت ۱ ساعت در دمای ۶۰-۵۰ درجه سانتی‌گراد قرار داده شد و پس از عبور از صافی، جهت تعیین مقدار این عناصر (Ca، S، Fe) توسط دستگاه ICP، آنالیز شدند. نتایج آنالیز در جدول ۱ ارایه شده است.

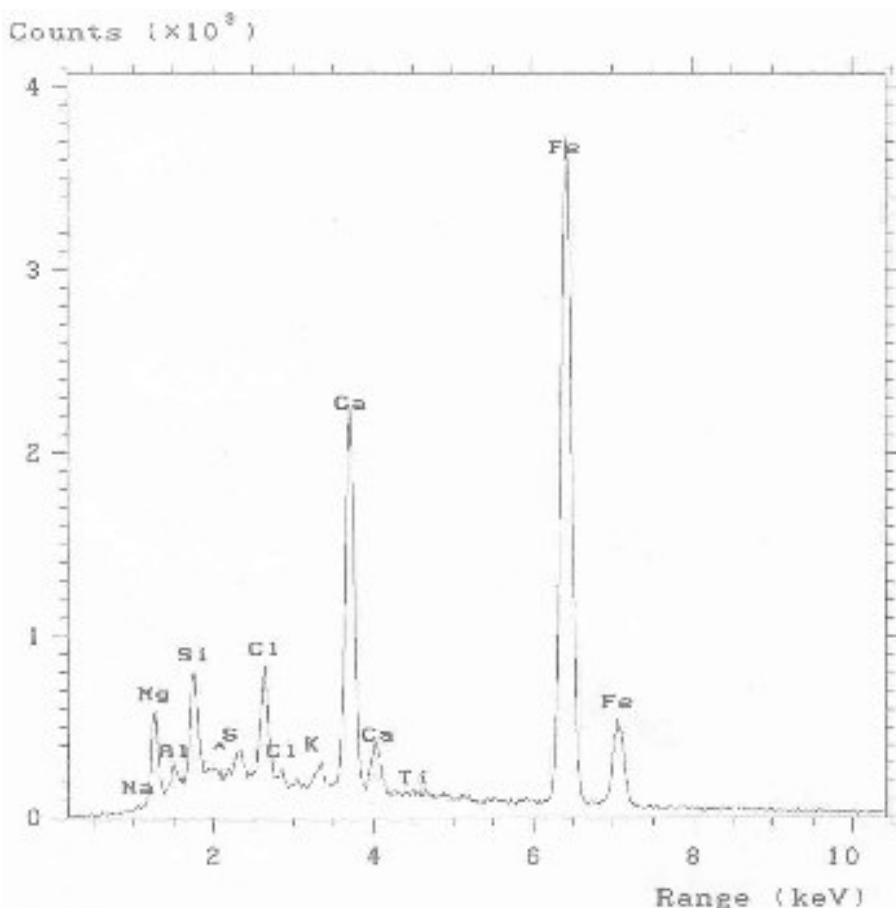
جدول ۱ - نتایج درصد انحلال نمونه‌های سنگ مرمر در آب مقطر

	Fe	S	Ca	S	Ca
M ₂	<0.001	0.060	0.340	31/41	0.960
M ₃	<0.001	0.032	0.213	14/88	0.618
M ₄	<0.001	0.253	0.420	72/91	1/16
M ₅	<0.001	0.209	0.337	61/83	1/00
M ₆	<0.001	0.193	0.360	64/12	1/04
M ₇	<0.001	0.147	0.285	46/81	0.78
M ₈	<0.001	0.123	0.253	41/14	0.68
M ₉	<0.001	0.227	0.421	56/89	1/11
M ₁₀	<0.001	0.102	0.258	38/93	0.87
M ₁₁	<0.001	0.514	0.926	72/91	2/56
M ₁₂	<0.001	0.108	0.355	42/72	1/00

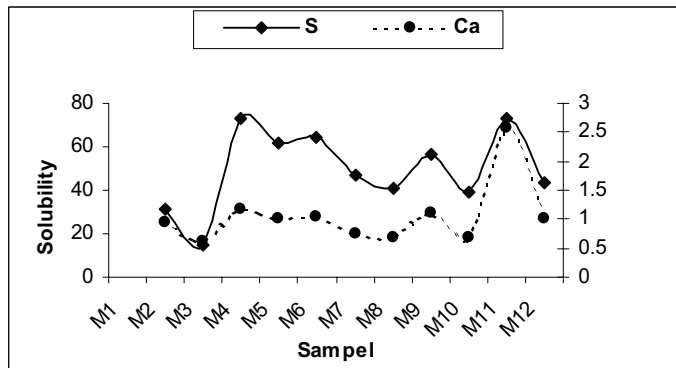
همانطور که مشاهده می‌شود، بجز Fe که انحلال آن بسیار ناچیز است، مقادیر قابل توجهی از عناصر Ca و S در آب حل شده‌اند. این موضوع با محاسبه درصد انحلال این عناصر نسبت به مقدار واقعی آن‌ها در



نمونه‌های سنگ مرمر بیشتر مشخص می‌شود. با رسم نمودار مربوط به مقادیر انحلال یافته Ca و S در نمونه‌های مختلف سنگ مرمر (شکل ۱۴) میزان نسبی انحلال این دو عنصر به طور متناسب با هم تغییر می‌نماید که این امر ناشی از انحلال سولفات کلسیم تشکیل شده بر روی سطح نمونه‌های سنگ مرمر در اثر باران اسیدی می‌باشد. البته باید اشاره کرد که مقدار Ca انحلال یافته نسبت به مقدارهای با توجه به مقادیر استوکیومتری آن‌ها در فرمول CaSO_4 , بسیار بیشتر به نظر می‌آید که این نکته هم ناشی از انحلال جزیی فاز CaCO_3 در آب و هم به خاطر وجود نمک‌های دیگر Ca در مقادیر ناچیز است که در بافت سنگ مرمر می‌تواند وجود داشته باشد. ولی نکته مهم، انحلال فاز سولفات کلسیم در همه نمونه‌های است که بسته به میزان فرسایش و مقدار سولفات کلسیم تشکیل شده، مقدار آن تغییر می‌کند. نکته قابل توجه دیگر، اختلاف مقادیر Ca و S در آب و هم به خاطر وجود نمک‌های دیگر Ca در مقادیر ناچیز است که در بافت سنگ مرمر افزایش قابل توجهی در اختلاف مقادیر S و Ca آن‌ها مشاهده می‌شود. بنابراین اگر میزان فرسایش سنگ‌های مرمر با مقادیر انحلال یافته S و Ca مرتبط باشد، در مورد نمونه‌های M_{21} و M_{11} طبق نتایج به دست آمده در جدول ۱، علاوه بر وجود فرسایش ناشی از باران اسیدی که منجر به تشکیل فاز سولفات کلسیم در سنگ‌های مرمر می‌شود، عوامل جوی دیگری نیز که منجر به تغییر شیمیایی کربنات کلسیم به نمک‌های قابل انحلال کلسیم می‌شوند نیز در فرسایش این سنگ‌ها موثر بوده‌اند.



شکل ۱۳ - آنالیز EDX از سطح سنگ مرمر فرسایش یافته



شکل ۱۴- تغییرات اتحال پذیری عناصر کلسیم (محور عمودی سمت راست) و گوگرد (محور عمودی سمت چپ) موجود در سنگ‌های مرمر فرسایش یافته پس از اتحال در آب مقطر (مقادیر اتحال پذیری بر حسب درصد است)

۴- نتیجه‌گیری

مطالعات میکروسکوپی نوری و الکترونی نشان داد که به طور کلی دو عامل اصلی در روند فرسایش سنگ‌های مرمر اثر گذارند. یکی نفوذ رطوبت به درون بافت سنگ و ایجاد فرایند اتحال و تبلور دوباره در اثر تغییر دما که باعث پوکی و پدید آمدن ناپیوستگی در بافت سنگ می‌شود. عامل دیگر، محلول‌های اسیدی ناشی از آلدگی گازهای اسیدی موجود موسوم به باران‌های اسیدی در محیط که در اثر تماس آن با سطح سنگ، اتحال آن از سطح و تغییر ساختار و فرسایش سنگ دیده می‌شود. آنالیز عنصری نمونه‌های سنگ مرمر توسط روش‌های XRF و ICP و EDX به همراه آنالیز فازی نمونه‌ها توسط XRD نشان داد که علاوه بر ترکیب اصلی سنگ یعنی کربنات کلسیم، ترکیبات جانبی دیگری چون سولفات کلسیم، هیدروکسید آهن و در مواردی کلرید سدیم نیز وجود دارند. در واقع این ترکیبات حاصل واکنش‌های انجام شده در سنگ مرمر توسط عوامل محیطی اشاره شده می‌باشد که با گذشت زمان سبب فرسایش تدریجی آن‌ها می‌شود.

مراجع

1. وطن‌دoust ر.; فرسودگی سنگ و حفاظت از آن؛ ناشر: سازمان میراث فرهنگی ۱۳۷۰.
2. وطن‌دoust ر.; حفاظت، نگاهداری و مرمت آثار هنری و تاریخی؛ ناشر: سازمان میراث فرهنگی ۱۳۷۶.
3. Guidobaldi F.“Acid Rain and Corrosion of Marble, The Conservation of Stone II,” Bologna (1981).
4. Matteoli U. et.al., “Humidity and Temperature Determination in Various Litho types, The Conservation of Stone II,” Bologna (1981).
5. Friedlander S. K., “Smoke, Dust, and Haze, Fundamental of Aerosol,” John Wiley and Sons (1977).

مقاله حاضر تحت عنوان:

“Improved Performance of Alumina Ceramics with Carbon Nanotube Reinforcement”

در کتاب “Ceramic Armor Materials by Design” از انتشارات انجمن سرامیک آمریکا (Acers) به چاپ رسیده است که به دلیل اهمیت موضوع، ترجمة آن تقدیم می‌گردد.

بهبود کارایی سرامیکهای آلومینایی با تقویت‌کننده‌های نانولوله‌ای کربنی

چکیده: پودر نانوسایز آلومینا و نانولوله‌های کربنی در ابتدا مخلوط شده و سپس جهت ساخت کامپوزیت پایه سرامیکی با دانسیته بالا تحت فرآیند پرس داغ قرار گرفتند. تحت شرایط فوق استحکام و تافنس شکست آلفا آلومینیاز نوع آلومینا پلی کربیستال با اندازه دانه معمولی بسیار بالاتر می‌باشد. افزایش نانولوله‌های کربنی در آلومینا باعث ایجاد کامپوزیتی با تافنس شکست و استحکام بالاتر می‌شود. فرآیند پرس داغ تحت خلاء نسبت به فرآیند پرس داغ تحت گاز آرگون باعث بهبود خواص (استحکام و تافنس شکست) می‌شود. نتایج حاصل از این تحقیق، ساخت کامپوزیتهای سبک با استحکام و تافنس شکست بالا را از کامپوزیتهای پایه آلومینا نانو فاز یا دیگر سرامیکها، با نانولوله‌های کربنی بعنوان تقویت‌کننده را پیشنهاد می‌کند.

کلیدواژه‌ها: نانوکامپوزیت، سرامیکهای پایه آلومینا-MWNT . نانولوله‌های کربنی-Armor و کامپوزیتهای با تافنس بالا

۱- مقدمه

نانولوله‌های کربنی دارای مدول و نسبت طول به قطر^۱ بالایی هستند[۱-۳]. بنابراین می‌توانند تقویت کننده‌های بسیار مناسبی برای سرامیکها باشند. خواص مکانیکی این قبیل کامپوزیت‌ها بستگی زیادی به روش تولید و عملیات سطحی که روی نانولوله‌ها انجام می‌شود دارد. آلومینا زینتر شده استحکام، سختی و تافنس شکست بالائی دارد. بهبود این خواص با اضافه کردن نانولوله‌های کربنی در کامپوزیت زمینه آلومینایی یک فرصت هیجان‌انگیز ویک فرآیند قابل بحث می‌باشد.

در این مقاله گزارشی از فرآیند و خواص مکانیکی کامپوزیت ساخته شده از ذرات آلومینا نانو سایز بعنوان ماتریس و نانولوله‌های کربنی چند دیواره (MWNT)^۲ بعنوان فاز تقویت‌کننده ارائه شده است؛ و روش‌های بهینه شده توزیع و پراکنده سازی MWNT در پودر آلومینا قبل از پرس و زینتر کردن و خالص‌سازی و اکسیداسیون MWNT تأکید شده است.

۲- تجربیات

برای ساخت این کامپوزیت از ذرات پودر آلومینا فاز گاما^۳ با قطر متوسط ۲۳ نانومتر و MWNT سنتز شده بوسیله روش Arc-discharge استفاده گردید. پودر آلومینا فاز گاما قبل از زینتر تحت حرارت ۱۳۰۰°C برای مدت ۷ دقیقه به آلفا آلومینا تبدیل شد. اندازه متوسط ذرات پودر آلفا که با X-ray line broadening ۶۲ نانومتر گردید، درصد حجمی با ۲۰-۵ درصد حجمی MWNT ساخته شدند. MWNT بوسیله حرارت در دمای

¹ Aspect ratio
² Multi-wall carbon nanotubes
³ Technologies corporation , Romeoville, IL و MWNT Nano phase



640°C در مقاطع زمانی مختلف تا نهایتاً 150°C دقیقه در هوا به صورت جزئی اکسید شدند. این عملیات مقداری از مواد کربنی را حذف می‌کند و پراکنده شدن نانولوله‌ها را ساده‌تر می‌سازد. پودر آلفا آلومینا و MWNT پراکنده شده در دی‌کلرومتان (متیلن کلراید، CH_2Cl_2) تحت فرآیند آتراسوئنیک به مدت ۴ دقیقه مخلوط شدند. مخلوط آلومینا و MWNT در حمام آتراسوئنیک تا زمان تبخر بیشتر CH_2Cl_2 نگهداری شد، سپس مخلوط فوق به مدت ۲۴ ساعت در دمای 75°C خشک گردید. مقدار جزئی از مخلوط کلوخه شد که توسط هاون و دسته هاون از جنس عقیق مجدد آسیاب و مخلوط شد و در دمای 130°C برای مدت ۱۲ ساعت خشک گردید. در نهایت مخلوط آلومینا – MWNT تحت فرآیند پرس داغ در قالب گرافیتی در دمای 1300°C و فشار ۶۰ مگا پاسکال برای مدت زمان ۱ ساعت در اتمسفر آرگون و یا خلاء زینتر شد.

کامپوزیت آلومینا با MWNT بدون فرآوری (به همان حالت دریافت شده) و بدون عملیات اکسیداسیون در شرایط مشابه تهیه گردید که در مرجع ۴ توضیح داده شده است. دانسیته کامپوزیتها با روش Archimedes اندازه‌گیری شد. آنالیز اشعه X نیز جهت تشخیص فاز جدیدی که بعلت وجود MWNT ممکن است تشکیل شود، انجام شد.

برای اندازه‌گیری سختی و تافنس شکست، ابتدا سطح کامپوزیت با خمیر الماسه یک میکرونی و سپس پودر آلومینا $/3^{\circ}$ میکرونی پولیش شد. سختی کامپوزیت با دستگاه میکرو سختی‌سنج و اثرگذار^۱ ویکرز مدل (M-400، Leco Co) و با بار یک کیلوگرم که روی سطح آن به مدت زمان ۱۰ ثانیه اعمال گردید، اندازه‌گیری شد. برای اندازه‌گیری مقدار تافنس شکست کامپوزیت از یک سختی‌سنج ویکرز تحت بار ۵ کیلوگرم استفاده شد و تافنس شکست با اندازه‌گیری طول ترک ایجاد شده در گوشه‌های محل اثرگذارهای ویکرز طبق فرمول "Evans and Charles" محاسبه گردید. در این رابطه P برابر بار اعمالی بر حسب نیوتون و C معادل طول ترک بر حسب متر است.

$$(K_C = 0.00824 \times (P/C)^{1.5})$$

استحکام نمونه‌های کامپوزیتی توسط تستهای قطری^۲ دیسکهای زینتر شده اندازه‌گیری می‌شود. در این تستها نیروی فشاری P روی قطر d نمونه‌های دیسکی شکل اعمال می‌گردد. درنتیجه یک خط تنش کششی روی سطح نمونه وارد شده و از طریق حجم آن به سطح دیگر منتقل می‌شود [۵ و ۶]. حداکثر تنش S که روی صفحه قطری بین دو نقطه بارگذاری بوجود می‌آید، برابر $S=2P/dL$ می‌باشد. قطر دیسک (در این تست ۱۶ میلی متر) و L ضخامت (۴ میلی متر) بود. یک لایه از مواد نرم (مانند مس) در بین صفحه‌های سخت بارگذارنده و نمونه قرار داده شده بود.

Varder و Finnie استحکام دو ماده "granodiorite" (احتمالاً گرانیت $(\text{Mg}, \text{Fe})\text{Al}_3\text{BSiO}_9$) و سنگ weibull و استحکام متوسط بسیار مشابهی دارند. گرانیت سختی $7/5$ دارد و سنگ آهک نرم بوده و سختی نداشته است. این نتایج نشان می‌دهد که نتایج روش تست قطری در محدوده وسیعی از سختی و استحکام با نتایج روش تست خمشی همخوانی دارد.

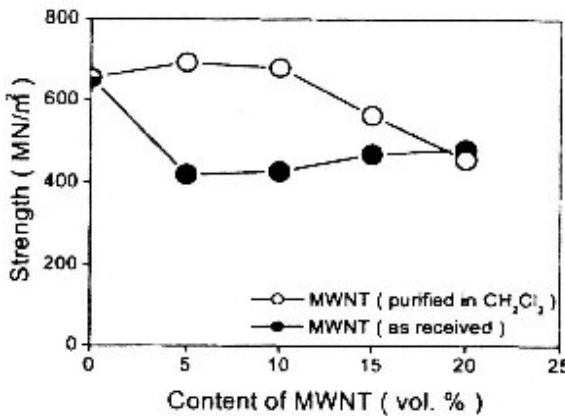
سطح پولیش شده کامپوزیت و محل فرورفتگی تست سختی با میکروسکوپ نوری بررسی گردید. سطوح شکست ابتدا پوشش طلا داده شدند و سپس بوسیله میکروسکوپ الکترونی (SEM, JEOL – A40) مورد ارزیابی قرار گرفتند.

¹ Indenter

² diametric test

۳- نتایج

نمونه‌های توصیف شده در این بخش تحت فرآیند پرس داغ در گاز آرگون و دمای 1300°C و فشار ۶۰ مگا پاسکال برای مدت زمان ۱ ساعت تهیه شدند. طیفهای پراش اشعه x نشان داد که کامپوزیتها فقط شامل آلفا آلومینا و کربن گرافیتی هستند. پهنای خطوط گرافیت نیز نشان داد که قطر متوسط MWNT در حدود ۱۲ نانومتر است [۴]. ساختارهای MWNT قبل و بعد از فرآیند شبیه هم بود. دانسیته کامپوزیتها زیتر شده بالای ۹۷٪ دانسیته تئوری بود. استحکام قطری کامپوزیت آلومینا – MWNT با مقادیر مختلف درصد حجمی MWNT در شکل ۱ نشان داده شده است.



شکل ۱- استحکام قطری کامپوزیتها زمینه آلومینایی که تحت فرآیند پرس داغ در شرایط گاز آرگون در دمای 1300°C و ۶۰ مگا پاسکال برای ۱ ساعت شامل مقادیر مختلف از MWNT ساخته شده است.

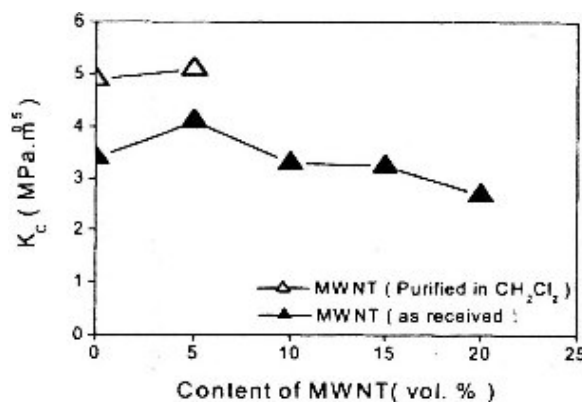
برای هریک از مقادیر MWNT ، سه نمونه از MWNT بدون فرآوری (به همان حالت دریافت شده) تست شد و میانگین آنها ثبت گردید. یک نمونه هم با CH_2Cl_2 پراکنده شده باشد تست شد و تافس آنها اندازه‌گیری شد.

قطعه‌ی ساخته شده از فقط نانو ذرات آلومینا، استحکام ۶۵۴ مگا پاسکال داشت که بیشتر از استحکام ۲۰۰-۳۵۰ مگا پاسکال ثبت شده برای آلومینای معمولی زیتر شده است [۷] و حتی با استحکام گزارش شده برای آلومینای تک کریستال (sapphire) که در ۳۵۰-۱۰۰۰ مگا پاسکال است قابل مقایسه می‌باشد. کامپوزیتها نانو آلومینا حاوی MWNT بدون فرآوری (به همان حالت دریافت شده)، استحکام مختصر پائین‌تری نسبت به قطعات فقط آلومینایی داشتند. هنگامی که نانولوله‌های کربنی پراکنده شده در CH_2Cl_2 برای تشکیل کامپوزیت به نانوآلومینا اضافه می‌شوند، استحکام در ابتداء در ۱۰ تا ۵ درصد حجمی MWNT افزایش می‌یابد و ۲۰ درصد حجمی تا حد کامپوزیت ساخته شده از MWNT بدون فرآوری (به همان حالت دریافت شده)، کاهش می‌یابد.

تافس شکست قطعه فقط آلومینا و کامپوزیت آلومینا – MWNT در شکل ۲ نشان داده شده است. متوسط تافس شکست قطعه فقط آلومینا و کامپوزیتها آلومینا با ۵ درصد حجمی MWNT که تحت فرآیند پرس داغ در خلاء ساخته شده‌اند به ترتیب در حدود $4.9\text{ MPa}\sqrt{\text{M}}$ و $5.1\text{ MPa}\sqrt{\text{M}}$ افزایش یافته است. این مقادیر تافس بالاتر از مقادیر گزارش شده برای آلومینا تک کریستال (sapphire) و آلومینا پلی کریستال است [۸].

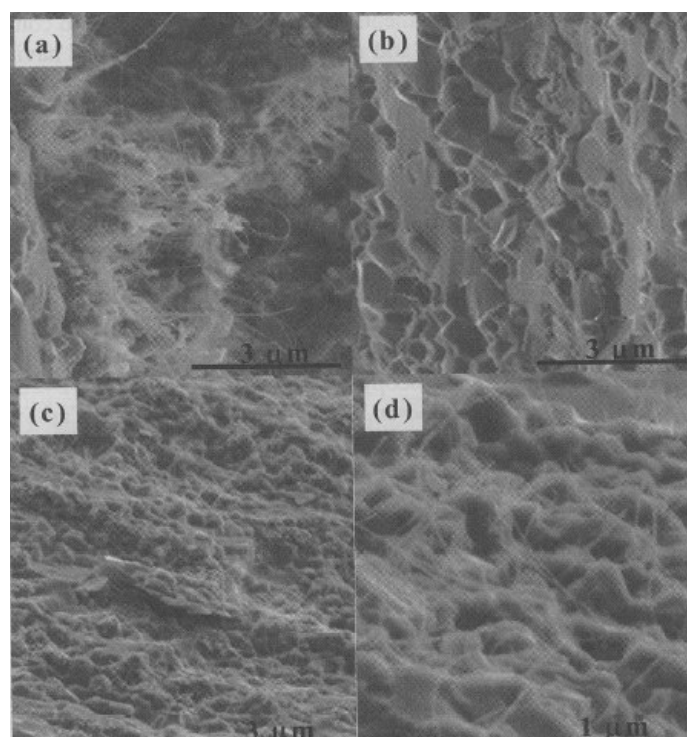
در کارهای قبلی [۴]، سختی و یکرز کامپوزیتها آلومینا حاوی MWNT بدون فرآوری (به همان حالت دریافت شده) به طور خطی از $18/4 \text{ GPa}$ برای قطعه آلومینای خالص به $13/5 \text{ GPa}$ برای آلومینای حاوی ۲۰ درصد حجمی MWNT، کاهش یافته است. درین کار سختی کامپوزیت آلومینای حاوی ۱۰ درصد حجمی MWNT از $16/2 \text{ GPa}$ (اکسید نشده) تا ماکریزم سختی $20/4 \text{ GPa}$ بعد از ۹۰ دقیقه حرارت دادن

MWNT در هوا در دمای ۶۴۰ درجه سانتیگراد، افزایش یافته است.



شکل ۲- تأثیر شکست نانوآلومینی زینتر شده و کامپوزیت‌های آلومینا-MWNT. مثلث سیاه تحت فرایند پرس داغ و آرگون، مثلث سفید تحت فرایند پرس داغ و خالأ

تصاویر حاصل از میکروسکوپ الکترونی روبشی از سطوح شکست کامپوزیت‌های آلومینا-MWNT در شکل ۳ نشان داده شده است. این تصاویر نشان می‌دهند که MWNT خالص شده در دی‌کلرو متان، بطور یکنواخت‌تری نسبت به MWNT بدون فرآوری (به همان حالت دریافت شده) در کامپوزیت پراکنده می‌گردند.



شکل ۳- میکروگرافهای میکروسکوپ الکترونی روبشی از سطوح شکست کامپوزیت‌های نانو فاز آلومینا-۵٪ حجمی MWNT بدون فرآوری (به همان حالت دریافت شده)، **(c)** و **(d)** MWNT خالص‌سازی شده در دی‌کلرو متان، (تمام نمونه‌ها تحت شرایط پرس داغ و گاز آرگون زینتر شده‌اند).

۴- بحث و نتیجه‌گیری

استحکام و تافنس قطعه خالص آلومنیا ساخته شده از پودر نانو سایز آلومنیا تحت فرآیند پرس داغ و گاز آرگون از آلومنیای پلی کریستال معمولی خیلی بیشتر است. افزایش ۵ درصد حجمی MWNT به آلومنیای نانو فاز برای تشکیل یک کامپوزیت، باعث افزایش زیاد هر دو ویژگی استحکام قطری و تافنس شکست می‌گردد. خالص‌سازی MWNT در دی‌کلرومتان، پراکنده‌گی MWNT را در کامپوزیت نهایی بهبود می‌بخشد این مرحله خالص‌سازی، کربن‌های اضافی را از MWNT حذف می‌کند و MWNT خالص‌تر را که بهتر در حلal دی‌کلرومتان پراکنده شده، باقی می‌گذارد. فرآیند پرس داغ تحت خلاء باعث جداسازی گازهای درگیر شده در مخلوط پودری کامپوزیت می‌گردد، از باقیماندن تنفس و کاهش استحکام جلوگیری می‌کند. بهبود این فرآیندها آینده روشنی را برای کامپوزیت‌های آلومنیا نانو فاز–MWNT جهت ساخت مواد مستحکم‌تر و سبک‌تر، متصور می‌نماید. در آینده بهبود بیشتر فرآیند تولید این کامپوزیتها می‌تواند منجر به ساخت کامپوزیتهای با مقادیر بیشتر MWNT و در نتیجه دانسته پایین‌تر و استحکام و تافنس بالاتر شود.

مراجع

1. S. Iijima, "Helical Microtubules of Graphitic Carbon," *Nature*, 35 [7] Nov. 56-58 (1991).
2. O. Lourie and H. D. Wagner, "Evaluation of Young's Modulus of Carbon Nanotubes by Micro-Raman Spectroscopy," *J Mater. Res.*, 13[9] 2418-2422 (1988).
3. P. M. Ajayan and T. W. Ebbesen, "Nanometre-size Tubes of Carbon," *Rep. Prog. Phys.*, 60 1025-1062 (1999).
4. S. Chang, R. H. Doremus, P. M. Ajayan and R. W. Siegel, "Processing and Mechanical Properties of C-Nanotube Reinforced Alumina Composites, *Ceramic Engineering and Science Proceedings*, 21[3] 653-658 (2000).
5. Vardar and I. Finnie, "An Analysis of the Brazilian Disk Fracture Test Using the Weibull Probabilistic Treatment of Brittle Strength," *Int. J. Fracture*, 11 [3] 495-508 (1975).
6. M. B. Thomas, R. H. Doremus, M. Jarcho and R. L. Salsbury, "Dense Hydroxylapatite: Fatigue and Fracture Strength after Various Treatments, from Diametral Tests," *J Mat. Sci.*, 15 891-896 (1980).
7. W. D. Kingery, H. K. Bowen and D. R. Uhlmann, *Introduction to Ceramics*, John Wiley and Co., New York, 1976, p. 791.
8. Y.-M. Chiang, D. P. Birnie, and W. D. Kingery, *Physical Ceramics*. John Wiley and Co., New York, 1997, p. 484.

برگردان: فریما آگند^۱، سید مهرداد همایون نژاد^۲

^۱دانشگاه صنعتی مالک اشتر

^۲ مؤسسه آموزشی و تحقیقاتی صنایع دفاعی

Far_agend@yahoo.com

